

Clase #1, 9/3/2020

Campo eléctrico  $\Rightarrow$  la fuerza sobre una carga  $q$  en un punto dado  $\vec{x}$  (ley de Coulomb) resulta dada por la expresión

$$\vec{F} = q \vec{E}(\vec{x})$$

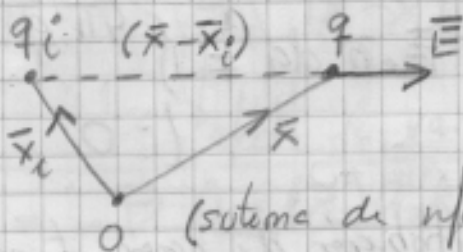
$$\vec{E}(\vec{x}) = \sum_i k q_i \frac{(\vec{x} - \vec{x}_i)}{|\vec{x} - \vec{x}_i|^3}$$

(Campo eléctrico en  $\vec{x}$  debido a cargas en

Para una distribución continua de cargas tendremos

$$\vec{E}(\vec{x}) = \int \rho(\vec{x}') \frac{(\vec{x} - \vec{x}')}{|\vec{x} - \vec{x}'|^3} d^3x'$$

Explicitemente



Suponemos el caso estático (la distribución de cargas es independiente del tiempo, para expresar una distribución puntual (discreta) de cargas tenemos  $\Rightarrow$

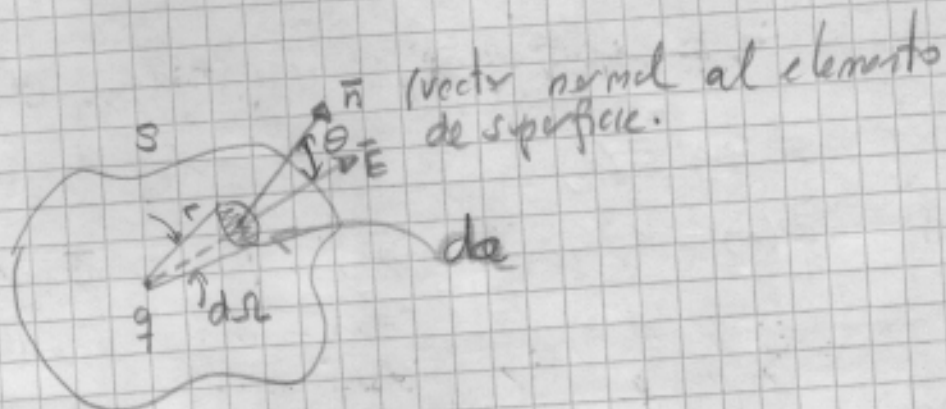
$$\rho(\vec{x}) = \sum_i q_i \delta(\vec{x} - \vec{x}_i), \text{ donde } \delta(\vec{x} - \vec{x}_i) \text{ es la}$$

función de distribución (Delta de Dirac). Algunas propiedades de la  $\delta(\vec{x})$  son las siguientes

$$\delta(f(x)) = \frac{1}{|df/dx|} \delta(x - x_0) \text{ ; para } f(x_0) = 0$$

$$\gamma \int_{\Delta V} \delta(\vec{x} - \vec{x}_0) d^3x = \begin{cases} 1 & \vec{x}_0 \in V \\ 0 & \vec{x}_0 \notin V \end{cases}$$

Ley de Gauss:



$$\vec{E} \cdot \vec{n} da = q \frac{\cos \theta}{r^2} da$$

$$\vec{E} \cdot \vec{n} da = q d\Omega, \quad \text{ya que } \cos \theta da = r^2 d\Omega$$

luego

$$\oint_S \vec{E} \cdot \vec{n} da = \begin{cases} 4\pi q & q \text{ interior a } S \\ 0 & q \text{ exterior a } S \end{cases}$$

y para una distribución de carga tenemos  $\Rightarrow$

Forma integral de la ley de Gauss

$$\oint_S \vec{E} \cdot \vec{n} da = 4\pi \sum_i q_i \quad (\text{distribución discreta})$$

$$\oint_S \vec{E} \cdot \vec{n} da = 4\pi \int_V \rho(\vec{x}) d^3x$$

Para un campo vectorial, aplicando el teorema de la divergencia, tenemos

$$\oint_S \vec{A} \cdot \vec{n} da = \int_V \nabla \cdot \vec{A} d^3x$$

Comparando con la expresión anterior tenemos  $\Rightarrow$

$$\oint_S \vec{E} \cdot \vec{n} da = 4\pi \int \rho(\vec{x}) d^3x$$

$$\Rightarrow \boxed{\vec{\nabla} \cdot \vec{E} = 4\pi \rho(\vec{x})} \quad (\text{forma diferencial de la ley de Gauss})$$

Por la forma, el carácter vectorial de  $\vec{E}$  (derivada de

$$\vec{\nabla} = \vec{\nabla}_t + \vec{\nabla}_e \Rightarrow \boxed{\vec{\nabla} \times \vec{E} = 0}$$

Expresando  $\vec{E}(\vec{x}) = \int \rho(\vec{x}') \frac{(\vec{x} - \vec{x}')}{|\vec{x} - \vec{x}'|^3} d^3x'$

$$y \quad \frac{(\vec{x} - \vec{x}')}{|\vec{x} - \vec{x}'|^3} = - \vec{\nabla}_{\vec{x}} \left( \frac{1}{|\vec{x} - \vec{x}'|} \right)$$

afecta la variable  $\vec{x}$

$$\text{Así } \boxed{\vec{E}(\vec{x}) = - \vec{\nabla} \int \frac{\rho(\vec{x}') d^3x'}{|\vec{x} - \vec{x}'|}}$$

por lo tanto  $\vec{\nabla} \times \vec{E} = - \vec{\nabla} \times \left[ \vec{\nabla} \int \frac{\rho(\vec{x}') d^3x'}{|\vec{x} - \vec{x}'|} \right] = 0$

$\uparrow$  derivada "transversal"       $\uparrow$  derivada longitudinal

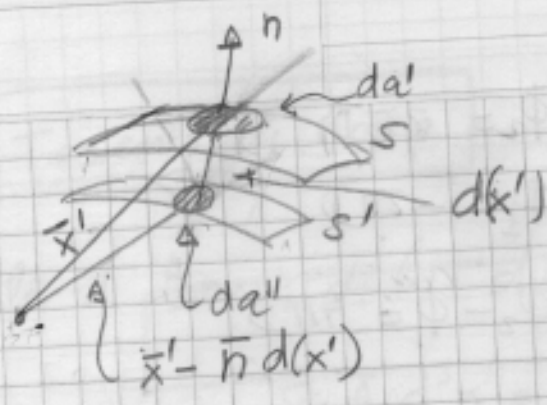
Potencial escalar =

$$\boxed{\phi(\vec{x}) = \int \frac{\rho(\vec{x}')}{|\vec{x} - \vec{x}'|} d^3x'}$$

▷ Carácter conservativo del campo eléctrico

A partir de  $\vec{F} = q\vec{E}$ , el trabajo necesario para mover una carga ( $q$ ) entre dos puntos en presencia de un campo





$|\bar{x} - \bar{x}'|$  ,  $|\bar{x} - \bar{x}' + \vec{n}d|$

$$\phi(\bar{x}) = \int_S \frac{\sigma(\bar{x}')}{|\bar{x} - \bar{x}'|} da' - \int_{S'} \frac{\sigma(\bar{x}')}{|\bar{x} - \bar{x}' + \vec{n}d|} da''$$

$$(\bar{x} + \vec{s}) \cdot (\bar{x} + \vec{s}) = x^2 + s^2 + 2\bar{x} \cdot \vec{s} = |\bar{x} + \vec{s}|^2$$

$$\Rightarrow |\bar{x} + \vec{s}| = x \left( 1 + 2 \frac{\bar{x} \cdot \vec{s}}{x^2} + \frac{s^2}{x^2} \right)^{1/2}$$

$\because x \gg s$

$$|\bar{x} + \vec{s}|^{-1} \approx \frac{1}{x} \left( 1 - \frac{\bar{x} \cdot \vec{s}}{x^2} + \dots \right)$$

$$\approx \left( \frac{1}{x} \right) - \left( \frac{\bar{x} \cdot \vec{s}}{x^3} \right)$$

Asi tomando las diferencias en  $\phi(\bar{x})$  resulta

$$\phi(\bar{x}) = \int_S \underbrace{\sigma(\bar{x}') d\vec{x}'}_{\downarrow} \cdot \vec{n} \cdot \nabla' \left( \frac{1}{|\bar{x} - \bar{x}'|} \right) da'$$

$D(\bar{x}') \equiv$  densidad de momento dipolar



$$da' \vec{n} \cdot \nabla' \left( \frac{1}{|\bar{x} - \bar{x}'|} \right) = \ominus d\Omega$$

$$\Rightarrow \phi(\bar{x}) = \ominus \int_S D(\bar{x}') d\Omega$$



electrostatica

$$W_{A \rightarrow B} = - \int_A^B \vec{F} \cdot d\vec{e} = -q \int_A^B \vec{E} \cdot d\vec{e}$$

trabajo "contra el campo"

$$W_{A \rightarrow B} = -q \int_A^B \nabla \phi \cdot d\vec{e} = q (\phi(B) - \phi(A))$$

$$\text{o' } \int_A^B \vec{E} \cdot d\vec{e} = -(\phi(B) - \phi(A))$$

Sobre una curva cerrada

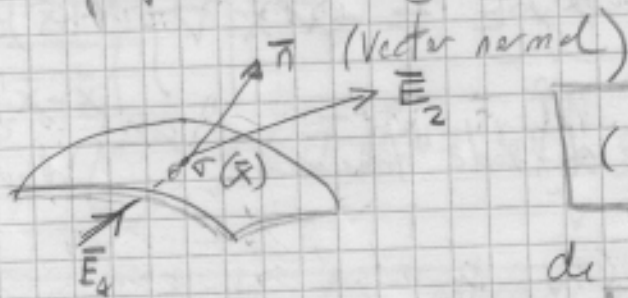
$$\oint_C \vec{E} \cdot d\vec{e} = 0$$

(resultado expresable en forma del teorema de Stokes)

$$\oint_C \vec{A} \cdot d\vec{e} = \int_S (\nabla \times \vec{A}) \cdot \vec{n} da$$

reafirmando  $|\nabla \times \vec{E} = 0|$  para el caso independiente del tiempo.

Distribuciones superficiales de carga =



$$(\vec{E}_2 - \vec{E}_1) \cdot \vec{n} = 4\pi\sigma(\vec{x})$$

de donde

$$\phi(\vec{x}) = \int_S \frac{\sigma(\vec{x}') da}{|\vec{x} - \vec{x}'|}$$

Para una capa doble, tenemos  $\Rightarrow$

Esquemáticamente, tenemos

Diagram showing a surface  $S$  with an interior region (1) and an exterior region (2). The potential values are given as  $\phi_2 = 2\pi D$  for the exterior and  $\phi_1 = -2\pi D$  for the interior. The difference is boxed as  $\phi_2 - \phi_1 = 4\pi D$ .

### ▷ Ecuaciones de Poisson y Laplace

$$\left. \begin{array}{l} \nabla \cdot \bar{E} = 4\pi g \\ \nabla \times \bar{E} = 0 \\ \bar{E} = -\nabla \phi \end{array} \right\} \Rightarrow \boxed{\nabla^2 \phi = -4\pi g} \quad (\text{Poisson})$$

$$\Rightarrow \boxed{\nabla^2 \phi = 0} \quad (\text{Laplace})$$

Veamos la expresión  $\phi(\bar{x}) = \int \frac{d^3 x' g(x')}{|\bar{x} - \bar{x}'|}$

(en todo el espacio) entonces

$$\boxed{\nabla^2 \phi = \nabla^2 \int \frac{g(\bar{x}')}{|\bar{x} - \bar{x}'|} d^3 x' = \int g(x') \nabla^2 \left( \frac{1}{|\bar{x} - \bar{x}'|} \right) d^3 x'}$$

definimos  $|\bar{x} - \bar{x}'| = r$

$$\int_V \nabla^2 \left( \frac{1}{r} \right) d^3 x' = \int_V \nabla \cdot \nabla \left( \frac{1}{r} \right) d^3 x' = \int_S \bar{n} \cdot \nabla \left( \frac{1}{r} \right) da$$

$$= \int_S \frac{\partial}{\partial r} \left( \frac{1}{r} \right) r^2 d\Omega = -4\pi$$

Ahora si

o'

$$\boxed{\nabla^2 (1/r) = -4\pi \delta(\bar{x})}$$

$$\boxed{\nabla^2 \left( \frac{1}{|\bar{x} - \bar{x}'|} \right) = -4\pi \delta(\bar{x} - \bar{x}')} \quad \text{o'}$$

### Teoremas de Green

Por el teorema de la divergencia tenemos

$$\int_V \nabla \cdot \bar{A} d^3x' = \oint_S \bar{A} \cdot \bar{n} da$$

tomemos  $\bar{A} = \phi \nabla \psi$  ( $\bar{A}$  = campo vectorial)  
( $\phi, \psi$  = funciones escalares)

entonces  $\nabla \cdot \bar{A} = \nabla \cdot (\phi \nabla \psi) \equiv \nabla \phi \cdot \nabla \psi + \phi \nabla^2 \psi$

$$\bar{A} \cdot \bar{n} = \phi \nabla \psi \cdot \bar{n} = \phi \frac{\partial \psi}{\partial n}$$

↑  
derivada en la  
direccion normal a  
la superficie S  
(hacia afuera del  
volumen)

⇒ tenemos, reemplazando, la primera identidad de Green

$$\int_V (\phi \nabla^2 \psi + \nabla \phi \cdot \nabla \psi) d^3x = \int_S \phi \frac{\partial \psi}{\partial n} da$$

eligiendo ahora  $\left\{ \begin{array}{l} R = |\bar{x} - \bar{x}'| \\ \psi = 1/R \\ \phi = \text{potencial} \\ \text{escalar} \end{array} \right.$  ( $\bar{x}$  punto de observacion,  
 $\bar{x}'$  punto de integracion)

entonces

$$\nabla^2 \phi = -4\pi g$$
$$\nabla^2 \left( \frac{1}{|\bar{x} - \bar{x}'|} \right) = -4\pi \delta(\bar{x} - \bar{x}') \Rightarrow$$



8

reemplazando, tenemos

$$\Rightarrow \int_V \left[ -4\pi \phi(\bar{x}') \delta(\bar{x} - \bar{x}') + \frac{4\pi}{R} \rho(\bar{x}') \right] d^3x'$$

$$= \oint_S \left[ \phi \frac{\partial}{\partial n'} \left( \frac{1}{R} \right) - \frac{1}{R} \frac{\partial \phi}{\partial n'} \right] da'$$

Si  $\bar{x}$  es interior a  $V$  tenemos

$$-4\pi \phi(\bar{x}) + 4\pi \int_V \frac{\rho(\bar{x}')}{|\bar{x} - \bar{x}'|} d^3x' = \oint_S \left[ \phi \frac{\partial}{\partial n'} \left( \frac{1}{R} \right) - \frac{1}{R} \frac{\partial \phi}{\partial n'} \right] da'$$

de donde

$$\phi(\bar{x}) = \int_V \frac{\rho(\bar{x}')}{|\bar{x} - \bar{x}'|} d^3x'$$

$$+ \frac{1}{4\pi} \oint_S \left[ \frac{1}{|\bar{x} - \bar{x}'|} \frac{\partial \phi}{\partial n'} - \phi \frac{\partial}{\partial n'} \left( \frac{1}{|\bar{x} - \bar{x}'|} \right) \right] da'$$

Si el punto  $\bar{x}$  es exterior al volumen  $V$  el primer término se anula.

En definitiva  $\Rightarrow$  (a) Si la superficie  $S$  tiende a infinito la integral de superficie se anula y la forma de  $\phi$  se reduce a la correspondiente a la solución de Poisson sin superficies limitadoras.

(b) Si en el volumen  $\rho(\bar{x}) = 0$  la solución

NOTA:

$$\nabla \phi \nabla \left( \frac{1}{R} \right) =$$

$$\nabla \cdot \left( \frac{1}{R} \nabla \phi \right) =$$

$$-\frac{1}{R} \nabla^2 \phi$$

$$\Rightarrow \int_V \nabla \cdot \left( \frac{1}{R} \nabla \phi \right) d^3x =$$

$$= \oint_S \frac{1}{R} \nabla \phi \cdot \mathbf{n} da$$

$$- \int_V \frac{1}{R} \nabla^2 \phi d^3x$$

$$= +4\pi \int_V \frac{\rho(\bar{x}')}{R} + \int_S \frac{1}{R} \frac{\partial \phi}{\partial n'} da'$$

para  $\phi(\bar{x})$  en el interior depende de los valores del potencial y de la derivada normal en la superficie. La solución será entonces, en forma integral dependiente de  $\phi$  y  $\frac{\partial \phi}{\partial n}$  (condiciones de Cauchy)

Soluciones formales al problema electrostático

Definimos las funciones  $G(\bar{x}, \bar{x}')$  y  $F(\bar{x}, \bar{x}')$  tales que

$$G(\bar{x}, \bar{x}') = \frac{1}{|\bar{x} - \bar{x}'|} + F(\bar{x}, \bar{x}')$$

$$\nabla_{\bar{x}}^2 F(\bar{x}, \bar{x}') = 0$$

Luego, si  $\begin{cases} \phi \equiv \phi(\bar{x}) \\ \psi \equiv G(\bar{x}, \bar{x}') \end{cases}$  resulta

$$\phi(\bar{x}) = \int_V \rho(\bar{x}') G(\bar{x}, \bar{x}') d^3x' + \frac{1}{4\pi} \oint_S \left[ G(\bar{x}, \bar{x}') \frac{\partial \phi}{\partial n'} - \phi(\bar{x}') \frac{\partial G(\bar{x}, \bar{x}')}{\partial n'} \right] da'$$

▷ Condición de Dirichlet  $\Rightarrow G_{Dirichlet}(\bar{x}, \bar{x}') \Big|_{x' \in S} = 0$

▷ Condición de Neuman  $\Rightarrow \frac{\partial G_{Neuman}(\bar{x}, \bar{x}')}{\partial n'} \Big|_{x' \in S} = 0$

10

Apendice  $\Rightarrow$  transformaciones y cambio de variables.

En general, la solución a la ecuación de Laplace

$$\nabla^2 \phi = 0$$

estará condicionada a la simetría particular del problema  
 Para coordenadas cartesianas ordinarias

$$\nabla^2(x, y, z) = \left( \frac{d^2}{dx^2} + \frac{d^2}{dy^2} + \frac{d^2}{dz^2} \right)$$

Para coordenadas esféricas tendremos

$$\left. \begin{cases} x = r \sin \theta \cos \varphi \\ y = r \sin \theta \sin \varphi \\ z = r \cos \theta \end{cases} \right\} \Rightarrow \left. \begin{cases} r = \sqrt{x^2 + y^2 + z^2} \\ \tan \varphi = y/x \\ \cos \theta = z / \sqrt{x^2 + y^2 + z^2} \end{cases} \right\}$$

$$\frac{d}{dx_i} = \sum_j \left( \frac{dx_j}{dx_i} \right) \left( \frac{d}{dx_j} \right)$$

$$X_i \equiv (x, y, z) \quad M_x \equiv (r, \theta, \varphi)$$

$$\left. \begin{cases} \frac{dr}{dx} = \frac{x}{r} = \sin \theta \cos \varphi \\ \frac{dr}{dy} = \frac{y}{r} = \sin \theta \sin \varphi \\ \frac{dr}{dz} = \frac{z}{r} = \cos \theta \end{cases} \right\} \begin{cases} \frac{d\varphi}{dx} = -\frac{y}{x^2} \cos^2 \varphi = -\frac{\sin \varphi}{r \sin \theta} \\ \frac{d\varphi}{dy} = \frac{1}{x} \cos^2 \varphi = \frac{\cos \varphi}{r \sin \theta} \\ \frac{d\varphi}{dz} = 0 \end{cases}$$

$$\frac{d\theta}{dx} = \frac{z}{r^2} \frac{1}{\sin \theta} \frac{dr}{dx} = \frac{1}{r} \cos \theta \cos \varphi$$

$$\frac{d\theta}{dy} = \frac{z}{r^2} \frac{1}{\sin \theta} \frac{dr}{dy} = \frac{1}{r} \cos \theta \sin \varphi$$

$$\frac{d\theta}{dz} = -\frac{1}{r^2 \sin \theta} \left( r - z \frac{dr}{dz} \right) = -\frac{\sin \theta}{r}$$



de donde obtenemos

$$\frac{d}{dx} = \sin\theta \sin\varphi \frac{d}{dr} + \frac{1}{r} \sin\theta \cos\varphi \frac{d}{d\varphi} - \frac{1}{r} \frac{\sin\varphi}{\sin\theta} \frac{d}{d\theta}$$

$$\frac{d}{dy} = \sin\theta \cos\varphi \frac{d}{dr} + \frac{1}{r} \cos\theta \sin\varphi \frac{d}{d\varphi} + \frac{1}{r} \frac{\cos\varphi}{\sin\theta} \frac{d}{d\theta}$$

$$\frac{d}{dz} = \cos\theta \frac{d}{dr} - \frac{1}{r} \sin\theta \frac{d}{d\theta}$$

A partir de estas resultados, con un poco de álgebra, obtenemos

$$\nabla^2(r, \theta, \varphi) = \frac{1}{r^2} \frac{d}{dr} \left( r^2 \frac{d}{dr} \right) + \frac{1}{r^2 \sin\theta} \frac{d}{d\theta} \left( \sin\theta \frac{d}{d\theta} \right) + \frac{1}{r^2 \sin^2\theta} \left( \frac{d^2}{d\varphi^2} \right)$$

Separación de variables (Ecuación de Laplace)

Coordenadas cartesianas =

$$\left( \frac{d^2}{dx^2} + \frac{d^2}{dy^2} + \frac{d^2}{dz^2} \right) \phi(x, y, z) = 0$$

$$\phi(x, y, z) = X(x) Y(y) Z(z)$$

$$\Rightarrow Y \cdot Z \frac{d^2 X}{dx^2} + X Z \frac{d^2 Y}{dy^2} + X Y \frac{d^2 Z}{dz^2} = 0$$

Para  $\phi(x, y, z)$  no singular  $\Rightarrow$  dividimos por  $\phi = X Y Z$

resultado 
$$\frac{1}{X(x)} \frac{d^2 X}{dx^2} + \frac{1}{Y(y)} \frac{d^2 Y}{dy^2} + \frac{1}{Z(z)} \frac{d^2 Z}{dz^2} = 0$$

Podemos introducir tres constantes arbitrarias, resultando

$$\frac{1}{x} \frac{d^2 X}{dx^2} = -\alpha^2$$

$$\frac{1}{y} \frac{d^2 Y}{dy^2} = -\beta^2$$

$$\frac{1}{z} \frac{d^2 Z}{dz^2} = \gamma^2$$

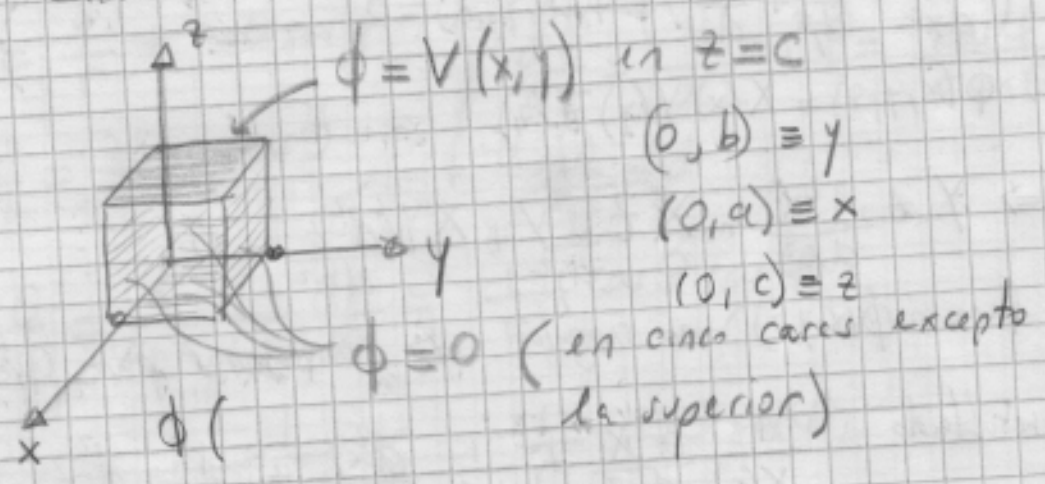
con la condición  $-\alpha^2 - \beta^2 + \gamma^2 = 0$   
para  $\alpha$  y  $\beta$  reales ( $\alpha^2 > 0, \beta^2 > 0$ )  
las soluciones son armónicas

$$\frac{d^2 X}{dx^2} + \alpha^2 X = 0 \rightarrow X(x) \cong e^{\pm i\alpha x}$$

$$\frac{d^2 Y}{dy^2} + \beta^2 Y = 0 \rightarrow Y(y) \cong e^{\pm i\beta y}$$

$$\frac{d^2 Z}{dz^2} - \gamma^2 Z = 0 \rightarrow Z(z) \cong e^{\pm \sqrt{\alpha^2 + \beta^2} z}$$

El ejemplo de aplicación es el de una caja  
con las condiciones de contorno



Por lo tanto

$$X(x) = A_x \cos \alpha x + B_x \sin \alpha x$$

$$Y(y) = A_y \cos \beta y + B_y \sin \beta y$$

$$\left. \begin{aligned} X(x=0) = A_x = 0 \\ Y(y=0) = A_y = 0 \end{aligned} \right\} \Rightarrow \begin{aligned} X(x) &= B_x \sin \alpha x \\ Y(y) &= B_y \sin \beta y \end{aligned}$$

$$X(x=a) = B_x \sin \alpha a = 0$$

$$(B_x \neq 0, \alpha a = n\pi \Rightarrow \alpha_n = \frac{n\pi}{a} \\ (n=1, 2, \dots))$$

$$Y(y=b) = B_y \sin \beta b = 0$$

$$(B_y \neq 0, \beta b = m\pi \Rightarrow \beta_m = \frac{m\pi}{b}$$

$$\gamma_{nm} = \sqrt{\alpha_n^2 + \beta_m^2} = \pi \sqrt{\frac{n^2}{a^2} + \frac{m^2}{b^2}}$$

$$Z(z) = A_z e^{\gamma_{nm} z} + B_z e^{-\gamma_{nm} z}$$

$$Z(z=0) = A_z + B_z = 0 \Rightarrow A_z = -B_z$$

$$Z_{nm}(z) \cong A_z (e^{\gamma_{nm} z} - e^{-\gamma_{nm} z})$$

$$\cong 2A_z \sinh \gamma_{nm} z$$

Luego, la solución completa se escribe

$$\phi(x, y, z) = \sum_{n,m=1}^{\infty} A_{nm} \sin(\alpha_n x) \sin(\beta_m y) \sinh(\gamma_{nm} z)$$



La constante se determina a partir de la condici3n  
 $\phi(x, y, z=c) = V(x, y)$ , de donde resulta

$$V(x, y) = \sum_{n,m} A_{nm} \sin(\alpha_n x) \sin(\beta_m y) \sinh(\gamma_{nm} c)$$

Utilizando la completitud de la base de senos y  
cosenos, resulta  $\Rightarrow$

$$\int_0^b \int_0^a V(x, y) \sin(kx) \sin(gy) dx dy$$

$$= \sum_{nm} A_{nm} \sinh(\gamma_{nm} c) \int_0^a \int_0^b dx dy \sin(kx) \sin(\alpha_n x) \cdot \sin(gy) \sin(\beta_m y)$$

Cada integral se escribe a partir de la identidad

$$\sin \psi \sin \phi + \cos \psi \cos \phi = \cos(\psi - \phi)$$

$$-\sin \psi \sin \phi + \cos \psi \cos \phi = \cos(\psi + \phi)$$

$$\Rightarrow \sin \psi \sin \phi = \frac{1}{2} (\cos(\psi - \phi) - \cos(\psi + \phi))$$

$$\psi = kx \quad \psi - \phi \Rightarrow (k - \alpha_n)x = (k - \frac{\pi n}{a})x$$

$$\phi = \alpha_n x \quad \psi + \phi \Rightarrow (k + \alpha_n)x = (k + \frac{\pi n}{a})x$$

$$\Rightarrow k = \alpha_n \quad \text{resulta}$$

$$\int_0^a dx \sin(kx) \sin(\alpha_n x) = \int_0^a dx \sin(kx) \sin(\alpha_n x) = \frac{1}{2} a \quad k = \alpha_n$$

$$\int_0^b dy \sin(gy) \sin(\beta_m y) = \frac{1}{2} b \quad g = \beta_m$$

$$\begin{aligned} \text{de donde} \quad A_{nm} \cdot \frac{ab}{4} \sinh(\gamma_{nm}c) \\ = \iint V(x,y) \sin(\alpha_n x) \sin(\beta_m y) \quad 0! \end{aligned}$$

$$A_{nm} = \frac{4}{ab \sinh(\gamma_{nm}c)} \int_0^a \int_0^b dx dy V(x,y) \sin(\alpha_n x) \sin(\beta_m y)$$

Equación de Laplace en Coordenadas Esféricas:

$$\frac{1}{r^2} \frac{d}{dr} \left( r^2 \frac{d\phi}{dr} \right) + \frac{1}{r^2 \sin\theta} \frac{\partial}{\partial\theta} \left( \sin\theta \frac{\partial\phi}{\partial\theta} \right) + \frac{1}{r^2 \sin^2\theta} \frac{\partial^2\phi}{\partial\varphi^2} = 0$$

$$\phi = \frac{F(r)}{r} \cdot P(\theta) \cdot Q(\varphi)$$

$$\begin{aligned} \Rightarrow P(\theta)Q(\varphi) \frac{1}{r^2} \frac{d}{dr} \left( r^2 \frac{d(F(r))}{dr} \right) \\ + \frac{F(r)Q(\varphi)}{r^3 \sin\theta} \frac{\partial}{\partial\theta} \left( \sin\theta \frac{\partial P(\theta)}{\partial\theta} \right) + \frac{F(r)P(\theta)}{r^3 \sin^2\theta} \frac{\partial^2 Q}{\partial\varphi^2} = 0 \end{aligned}$$

$$\Rightarrow P(\theta)Q(\varphi) \left\{ \frac{F''}{r} \right\}$$

$$+ \frac{F(r)}{r^3} Q(\varphi) \left\{ \frac{1}{\sin\theta} \frac{\partial}{\partial\theta} \left( \sin\theta \frac{\partial P}{\partial\theta} \right) \right\}$$

$$+ \frac{F(r)P(\theta)}{r^3 \sin^2\theta} \left\{ \frac{\partial^2 Q}{\partial\varphi^2} \right\} = 0$$

$$\Rightarrow PQ F'' + \frac{FQ}{r^2} \left\{ \frac{1}{\sin\theta} \frac{\partial}{\partial\theta} \left( \sin\theta \frac{\partial P}{\partial\theta} \right) \right\} + \frac{F P}{r^2 \sin^2\theta} \frac{\partial^2 Q}{\partial\varphi^2} = 0$$

(16)

dividiendo por  $(F P Q)$  (no nula en todo el espacio)

$$\Rightarrow \frac{1}{F} F'' + \frac{1}{r^2 \sin \theta} \frac{1}{P} \frac{d}{d\theta} \left( \sin \theta \frac{\partial P}{\partial \theta} \right) + \frac{1}{r^2 \sin^2 \theta} \frac{1}{Q} \frac{\partial^2 Q}{\partial \varphi^2} = 0$$

$$\Rightarrow \frac{1}{F} F'' - \frac{\alpha}{r^2} = 0$$

$$-\alpha = \frac{1}{\sin \theta} \frac{d}{d\theta} \left( \sin \theta \frac{\partial P}{\partial \theta} \right) - \frac{m^2}{\sin^2 \theta}$$

$$\boxed{\frac{1}{Q(\varphi)} \frac{d^2 Q}{d\varphi^2} = -m^2}$$

$$\Rightarrow Q(\varphi) = e^{\pm i m \varphi}$$

$$\boxed{\frac{1}{\sin \theta} \frac{d}{d\theta} \left( \sin \theta \frac{\partial P}{\partial \theta} \right) + \left( \alpha - \frac{m^2}{\sin^2 \theta} \right) P = 0}$$

$$\boxed{\frac{\partial^2 F}{\partial r^2} - \frac{\alpha F}{r^2} = 0}$$

$$\boxed{(\alpha = \text{real}) \quad (m = \text{real})}$$

Las soluciones para la parte radial se pueden escribir como la superposición de funciones crecientes y decrecientes de  $r$

$$\boxed{F(r) = A r^{\alpha+1} + B r^{-\alpha}}$$

Vemos que ambas satisfacen la ecuación radial, esto es



$$F \sim r^{l+1} \quad \frac{dF}{dr} = (l+1) A r^l$$

$$\frac{d^2 F}{dr^2} = l(l+1) A r^{l-1}$$

$$[l(l+1) r^{l-1} - \alpha r^{l-1}] = 0 \Rightarrow \alpha = l(l+1)$$

$$F \sim r^{-l} \quad \frac{dF}{dr} = -l r^{-l-1}$$

$$\frac{d^2 F}{dr^2} = l(l+1) r^{-l-2}$$

$$l(l+1) r^{-l-2} - \alpha r^{-l-2} = 0 \Rightarrow \alpha = l(l+1)$$

▷ Soluciones de la parte angular

definimos  $x = \cos \theta$  (cambio de variables)

$$\left(\frac{d}{d\theta}\right) = \left(\frac{dx}{d\theta}\right) \frac{d}{dx} = -\sin \theta \frac{d}{dx}$$

$$\frac{1}{\sin \theta} \cdot (-\sin \theta) \frac{d}{dx} \left(-\sin^2 \theta \cdot \frac{dP}{dx}\right) + \left[l(l+1) - \frac{m^2}{\sin^2 \theta}\right] P = 0$$

$$-\frac{d}{dx} \left(- (1-x^2) \frac{dP}{dx}\right) + \left[l(l+1) - \frac{m^2}{(1-x^2)}\right] P = 0$$

$$\left| \frac{d}{dx} \left[(1-x^2) \frac{dP}{dx}\right] + \left[l(l+1) - \frac{m^2}{(1-x^2)}\right] P = 0 \right|$$

Caso  $m=0$

Probaremos como solución el polinomio

$$P(x) = X^p \sum_{k=0}^{\infty} a_k x^k, \quad (-1 \leq x \leq 1)$$

$$\frac{d}{dx} \left( (1-x^2) \frac{d}{dx} \left( x^p \sum_{k=0}^{\infty} a_k x^k \right) \right) + l(l+1) x^p \sum_{k=0}^{\infty} a_k x^k = 0$$

|| amems  $S = \sum_{k=0}^{\infty} a_k x^k$ ,  $S' = \sum_{k=1}^{\infty} k a_k x^{k-1}$

$$\frac{d}{dx} (x^p S) = p x^{p-1} S + x^p S'$$

$$\left[ (1-x^2) \frac{d}{dx} (x^p S) = (1-x^2) p x^{p-1} S + (1-x^2) x^p S' \right]$$

$$\Rightarrow p x^{p-1} S - p x^{p+1} S + x^p S' - x^{p+2} S'$$

denuendo respecto a x tenemos

$$\begin{aligned} & p(p-1) x^{p-2} S + p x^{p-1} S' - p(p+1) x^p S \\ & - p x^{p+1} S' + p x^{p-1} S' + x^p S'' \\ & - (p+2) x^{p+1} S' - x^{p+2} S'' \\ & + l(l+1) x^p S = 0 \end{aligned}$$

Com  $S = \sum_{k=0}^{\infty} a_k x^k \Rightarrow$

$$S' = \sum_{k=0}^{\infty} k a_k x^{k-1}$$

$$S'' = \sum_{k=0}^{\infty} k(k-1) a_k x^{k-2}$$

$$\Rightarrow \sum_{k=0}^{\infty} a_k \left[ p(p-1) x^{p+k-2} + p k x^{p+k-2} - p(p+1) x^{k+p} - p k x^{p+k} + p k x^{p+k-2} + k(k-1) x^{p+k-2} - (p+2) k x^{k+p} - k(k-1) x^{k+p} + l(l+1) x^{k+p} \right]$$

$$= \sum_{k=0}^{\infty} \left\{ a_k x^{p+k-2} \left[ p(p-1) + p k + p k + k(k-1) \right] + \left[ -p(p+1) - p k - (p+2) k - k(k-1) + l(l+1) \right] a_k x^{k+p} \right\}$$

o' re-escubiendo este última expresión tenemos

$$\sum_{k=0} a_k x^{p+k-2} \{ (p+k)(p+k-1) \} + \sum_{k=0} a_k x^{p+k} \{ l(l+1) - (p+k)(p+k+1) \} = 0$$

Para  $k=0$  si  $a_{k=0} \neq 0 \Rightarrow p(p-1) = 0$

Para  $k=1$  si  $a_{k=1} \neq 0 \Rightarrow p(p+2) = 0$

Para cualquier otro valor de  $k$  debe ser

$$0 = a_{k+2} ((p+k+2)(p+k+1)) + a_k (l(l+1) - (p+k)(p+k+1))$$

$$\Rightarrow a_{k+2} = a_k \left\{ \frac{((p+k)(p+k+1) - l(l+1))}{(p+k+2)(p+k+1)} \right\}$$

Notar que si el numerador no se anula para algún  $k$ , en vez de un polinomio se obtiene una serie que diverge en  $+\infty$ . Por eso,  $l$  tiene que ser entero no negativo.

Este serie solo tiene términos con potencias pares de  $x$  ( $p=0$ ) o impares ( $p=1$ )

Si serie par  $\rightarrow a_0 \neq 0 \Rightarrow a_2, a_4, \dots, a_{2n}$

Si serie impar  $\rightarrow a_1 \neq 0 \Rightarrow a_3, a_5, \dots, a_{2n+1}$

ya que tendremos  $\Rightarrow$

$$= a_0 x^{p-2} p(p-1) + a_0 x^p (l(l+1) - p(p+1)) + a_1 x^{p-1} p(p+1) + a_1 x^{p+1} (l(l+1) - (p+1)(p+2)) + \sum_{k>1} = 0$$



20

Estos son los polinomios de Legendre de orden  $l$

$$P_l(x) = \frac{1}{2^l l!} \frac{d^l}{dx^l} (x^2 - 1)^l$$

(Fórmula de Rodriguez)

El factor de normalización se elige para que  $P_l(1) = 1$  para todo  $l$ .

Los primeros polinomios resultan dados por la expresion  $\Rightarrow$

$$P_0(x) = 1$$

$$P_1(x) = x$$

$$P_2(x) = \frac{1}{2} (3x^2 - 1)$$

$$P_3(x) = \frac{1}{2} (5x^3 - 3x)$$

$$P_4(x) = \frac{1}{8} (35x^4 - 30x^2 + 3), \text{ etc}$$

La fórmula de Rodriguez da una "receta práctica" para fabricar polinomios con coeficientes que cumplen la relación de recurrencia buscada.

Relación de ortogonalidad

Notar que la integral de un producto de funciones en un intervalo funciona como "producto interno"

$$\int_{-1}^1 P_l(x) P_e(x) dx = \frac{2}{(2l+1)} \delta_{le}$$

Aun, en el intervalo  $-1 \leq x \leq 1$

$$f(x) = \sum_{l=0}^{\infty} A_l P_l(x)$$

$$A_l = \frac{2l+1}{2} \int_{-1}^1 f(x) P_l(x) dx$$

Relación de recurrencia

A los efectos de cálculos que haremos, estas relaciones entre polinomios de Legendre y sus derivadas son las siguientes

$$\frac{dP_{l+1}}{dx} - \frac{dP_{l-1}}{dx} - (2l+1)P_l = 0$$

$$(l+1)P_{l+1} - (2l+1)xP_l + lP_{l-1} = 0$$

$$\frac{dP_{l+1}}{dx} - x \frac{dP_l}{dx} - (l+1)P_l = 0$$

$$(x^2-1) \frac{dP_l}{dx} - lxP_l + lP_{l-1} = 0$$

Problemas de contorno dotados de simetría azimutal

$$\phi(r, \theta) = \sum_{l=0}^{\infty} [A_l r^l + B_l r^{-(l+1)}] P_l(\cos \theta)$$

(volvemos mes adelante a utilizar este resultado)

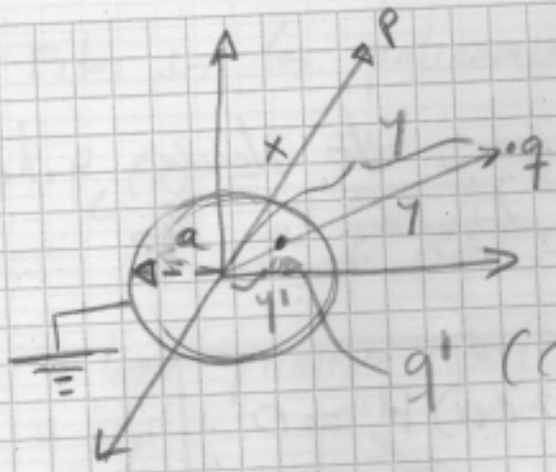
⇒ [Método de imágenes en problemas con simetría esférica]

Ejemplo

①

⇒

[Tomamos como primer ejemplo el caso de una carga puntual en presencia de una esfera conductora conectada a tierra.]



Conexión a tierra

$$\boxed{\phi_{\text{superficie}} = 0}$$

$q'$  (carga imagen que garantiza la condición de contorno,

$$\phi(\vec{x}) = \frac{q}{|\vec{x} - \vec{y}|} + \frac{q'}{|\vec{x} - \vec{y}'|}$$

$$\phi(|\vec{x}| = a) \Rightarrow \frac{q}{a|\vec{n} - \frac{y}{a}\vec{n}'|} + \frac{q'}{y'|\vec{n}' - \frac{a}{y'}\vec{n}|}$$

por lo tanto

$$q/a = -q'/y' \quad \Leftrightarrow \quad \frac{y}{a} = \frac{a}{y'}$$

$$\Rightarrow \boxed{y' = \frac{a^2}{y}}$$

(posición de la carga imagen)

$$\Rightarrow \boxed{q' = -\frac{q}{a}y' = -\frac{qa}{y}}$$

(magnitud de la carga imagen)

Existe un teorema de unicidad de la solución que dice si un cierto conjunto de cargas virtuales resuelve el problema, esa es la única elección posible.

La densidad de carga inducida en la superficie resulta, como hemos visto al estudiar el caso de los copes

$$\sigma = -\frac{1}{4\pi} \left( \frac{d\phi}{dx} \right)_{x=a}$$

con 
$$\phi(\vec{x}) = \frac{q}{|\vec{x}\vec{n} - y\vec{n}'|} + \left(-\frac{q}{a}\right) \frac{1}{|\vec{n}' - \frac{y}{a}\vec{n}|}$$

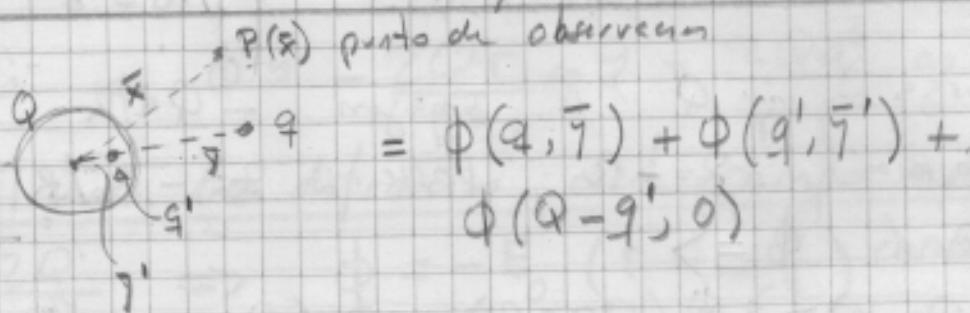


Ejemplo 2

→ Tomemos ahora el caso de una carga puntual  
frente a una esfera conductora aislada y cargada con carga  $Q$

Como en el caso anterior, la carga externa induce una carga, pero ahora debemos sumar la carga de la esfera, considerando la modificación de  $Q$  por  $q'$ .

$$\phi(\vec{x}) = \frac{q}{|\vec{x} - \vec{y}|} - \frac{aq}{\gamma |\vec{x} - \frac{a^2}{\gamma^2} \vec{y}|} + \frac{(Q + \frac{a}{\gamma} q)}{|\vec{x}|}$$

Ejemplo 3

→ Carga puntual en presencia de una esfera conductora  
⇒ mantenida a potencial fijo  $V$

Aquí reemplazamos el término  $\phi(Q + q', 0)$  por

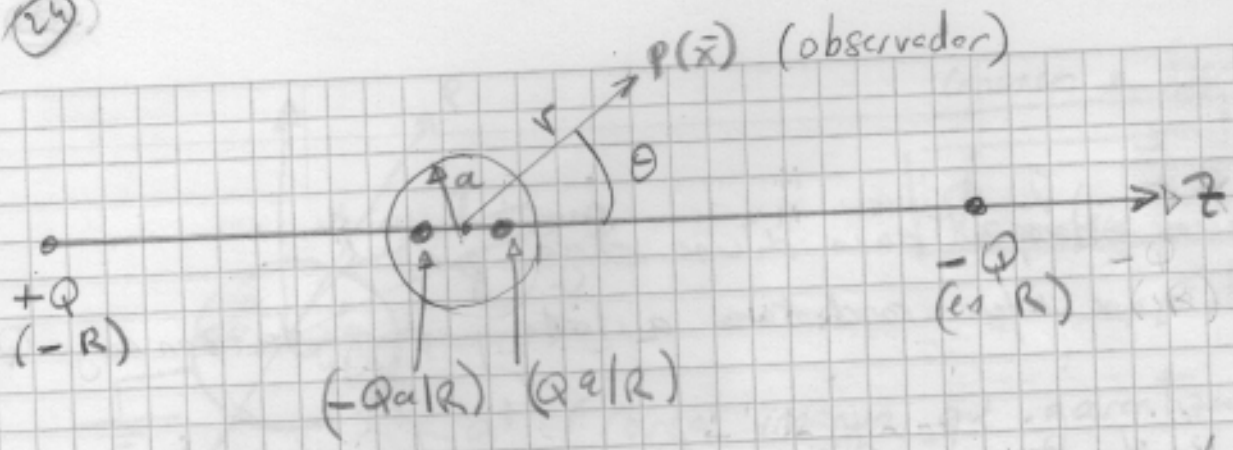
$$\frac{Va}{|\vec{x}|}$$

$$\phi(x) = \phi(q, \vec{y}) + \phi(q', \vec{y}') + V \frac{a}{|\vec{x}|}$$

Ejemplo 4

⇒ Esfera conductora en un campo eléctrico uniforme

(24)



$E_0 \cong \frac{2Q}{R^2}$  si  $a \ll R$  (campo externo)

(paralelo al eje horizontal, x)

Cargas	$-Q$	Imagen	$Qa/R$
	$z = R$	Posicion	$a^2/R = z$

Cargas	$Q$	Imagen	$-Qa/R$
	$z = -R$	Posicion	$z = -a^2/R$

Potencial  $\phi \Rightarrow$

$$\left\{ \begin{aligned} &\phi(-Q, R) + \phi(Q, -R) + \phi\left(\frac{Qa}{R}, \frac{a^2}{R}\right) + \\ &\phi\left(-\frac{Qa}{R}, -\frac{a^2}{R}\right) \end{aligned} \right.$$

$\Rightarrow$  Distancias al observador

(+Q)  $|\vec{r} - \vec{R}(+Q)| = (r^2 + R^2 + 2rR \cos \theta)^{1/2}$

(-Q)  $|\vec{r} - \vec{R}(-Q)| = (r^2 + R^2 - 2rR \cos \theta)^{1/2}$

$(Qa/R)$   $|\vec{r} - \vec{R}(Qa/R)| = \left(r^2 + \frac{a^4}{R^2} - 2r\frac{a^2}{R} \cos \theta\right)^{1/2}$

$(-Qa/R)$   $|\vec{r} - \vec{R}(-Qa/R)| = \left(r^2 + \frac{a^4}{R^2} + 2r\frac{a^2}{R} \cos \theta\right)^{1/2}$

$$\Rightarrow \phi(r, \theta) \cong \frac{Q}{(r^2 + R^2 + 2rR \cos \theta)^{1/2}} - \frac{Q}{(r^2 + R^2 - 2rR \cos \theta)^{1/2}} + \frac{Qa}{R(r^2 + \frac{a^4}{R^2} - 2r\frac{a^2}{R} \cos \theta)^{1/2}} - \frac{Qa}{R(r^2 + \frac{a^4}{R^2} + 2r\frac{a^2}{R} \cos \theta)^{1/2}}$$

Como  $r \ll R$  desarrollando los denominadores

$$\frac{Q}{R} \left( 1 + \frac{r^2}{R^2} + \frac{2r \cos \theta}{R} \right)^{-1/2} \approx \frac{Q}{R} - \frac{Qr \cos \theta}{R^2}$$

$$- \frac{Q}{R} \left( 1 + \frac{r^2}{R^2} - \frac{2r \cos \theta}{R} \right)^{-1/2} \approx - \frac{Q}{R} - \frac{Qr \cos \theta}{R^2}$$

$$\frac{aQ}{rR} \left( 1 + \frac{a^4}{R^2 r^2} - \frac{2a^2 \cos \theta}{rR} \right)^{-1/2} \approx \frac{aQ}{rR} + \frac{a^3 Q \cos \theta}{(rR)^2}$$

$$- \frac{aQ}{rR} \left( 1 + \frac{a^4}{R^2 r^2} + \frac{2a^2 \cos \theta}{rR} \right)^{-1/2} \approx - \frac{aQ}{rR} + \frac{a^3 Q \cos \theta}{(rR)^2}$$

resultando  $\Rightarrow \phi \approx - \frac{2Qr \cos \theta}{R^2} + \frac{2Qa^3 \cos \theta}{r^2 R^2}$

Si utilizamos la definicion del campo aplicado

$$\boxed{E_0 \approx \frac{2Q}{R^2} \Rightarrow \phi = -E_0 \left( r - \frac{a^3}{r^2} \right) \cos \theta}$$

o' sea  $\phi = -E_0 z + E_0 \frac{a^3}{r^3} z$

o'  $\phi = -E_0 z \left( 1 - \frac{a^3}{r^3} \right)$

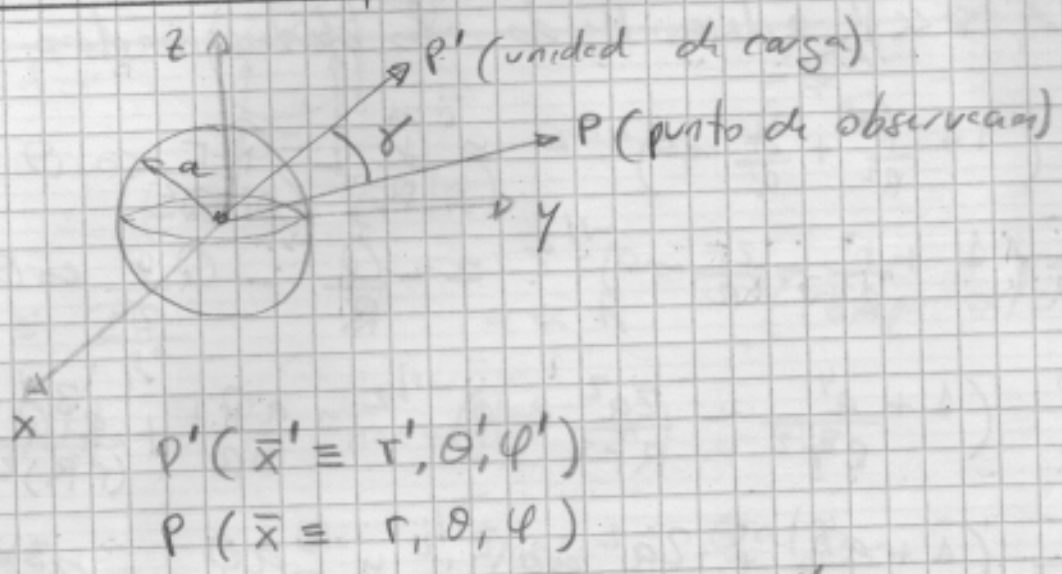
$\Rightarrow$  El primer termino es el debido al campo externo  
 $-\frac{\partial \phi}{\partial z} = E_0$  y el segundo corresponde a  
los cargas inducidas. (dipolo  $\equiv \left[ \left( \frac{Qa}{R} \right) \times \left( \frac{a^2}{R} \right) \times 2 \right]$   
 $\sim 2qa \sim$ )

Comentamos  $\rightarrow$  en todos los casos calcular la densidad de carga superficial

$$\sigma = - \frac{1}{4\pi} \left( \frac{\partial \phi}{\partial r} \right)_{r=a}$$



▷ Funcion de Green para la esfera = Solucion general



$$|\bar{x} - \bar{x}'| = (x^2 + x'^2 - 2xx' \cos \delta)^{1/2}$$

$$\left| \bar{x} - \frac{a^2}{x'^2} \bar{x}' \right| = \left( x^2 + \frac{a^4}{x'^2} - 2x \frac{a^2}{x'} \cos \delta \right)^{1/2}$$

$$G(\bar{x}, \bar{x}') = \frac{1}{(x^2 + x'^2 - 2xx' \cos \delta)^{1/2}} - \frac{1}{\left( \frac{x^2}{a^2} + a^2 - 2xx' \cos \delta \right)^{1/2}}$$

⇒ carga unidad ~ imagen ~

(Funcion de Green en el problema exterior)

Vemos que si  $x = x' = a$  (Superficie) entonces

$$G = 0$$

Para el problema de Poisson necesitamos tambien

$\left( \frac{\partial G}{\partial n'} \right) |_{\bar{x}' = a}$   $\bar{n}' =$  vector unitario dirigido hacia afuera del volumen

(en este caso  $\bar{n}'$  esta sobre  $\bar{x}'$  y apunta hacia el origen)

Así que debemos calcular  $\frac{\partial G}{\partial n'} \Big|_{x'=a}$  resultado

$$\frac{\partial G}{\partial n'} \Big|_{x'=a} = \left(-\frac{1}{2}\right) (x^2 + a^2 - 2xa \cos \delta)^{-3/2} \cdot (-1) \cdot [2a - 2ax \cos \delta - \frac{2x^2}{a} + 2xa \cos \delta]$$

$$\frac{\partial G}{\partial n'} \Big|_{x'=a} = -(x^2 + a^2 - 2xa \cos \delta)^{-3/2} \left(\frac{1}{a}\right) (x^2 - a^2)$$

(derivada normal en el problema exterior)

Solvamos el problema de Laplace  $\nabla^2 \phi = 0$

Recordemos que, aplicando los teoremas de Green podemos escribir

$$\phi(\bar{x}) = \int_V \frac{g(\bar{x}')}{|\bar{x} - \bar{x}'|} d^3 x' + \frac{1}{4\pi} \int_S \left[ \frac{1}{|\bar{x} - \bar{x}'|} \frac{\partial \phi}{\partial n'} - \phi \frac{\partial}{\partial n'} \left( \frac{1}{|\bar{x} - \bar{x}'|} \right) \right]$$

$$\text{Si } G(\bar{x}, \bar{x}') = \frac{1}{|\bar{x} - \bar{x}'|} + F(\bar{x}, \bar{x}')$$

$$\nabla^2 F(\bar{x}, \bar{x}') = 0$$

Para las condiciones de Dirichlet ( $G_D = 0$ ) superficie y tomando Laplace ( $g(\bar{x}) = 0$ ) obtendremos

$$\phi(\bar{x}) = -\frac{1}{4\pi} \oint_S \phi(\bar{x}') \frac{\partial G}{\partial n'} ds'$$

$$\phi(\bar{x}) = \frac{1}{4\pi} \int d\Omega' \frac{\phi(a, \theta', \varphi') a (x^2 - a^2)}{(x^2 + a^2 - 2ax \cos \gamma)^{1/2}}$$

$$d\Omega = d\varphi' d\theta' \sin \theta'$$

$$\cos \gamma = \cos \theta \cos \theta' + \sin \theta \sin \theta' \cos(\varphi - \varphi')$$

▷ (Solucion ecuacion de Laplace, condiciones Dirichlet)

▷ Retornemos al caso del Laplaceans ( $\nabla^2$ ) en coord. esféricas ampliando las condiciones de simetría azimutal.

Si m ≠ 0 la ecuación (parte angular) del Laplaceans en coordenadas esféricas

$$\left[ \frac{1}{\sin \theta} \frac{d}{d\theta} \left( \sin \theta \frac{d}{d\theta} \right) + \left( l(l+1) - \frac{m^2}{\sin^2 \theta} \right) \right] P = 0$$

donde P ≡ función de cos(theta) tiene como solución los polinomios asociados de Legendre

vale para m ≥ 0

$$P_l^m(x) = (-1)^m (1-x^2)^{m/2} \frac{d^m}{dx^m} [P_l(x)]$$

vale para -l ≤ m ≤ l

$$P_l^m(x) = \frac{(-1)^m}{2^l l!} (1-x^2)^{m/2} \frac{d^{l+m}}{dx^{l+m}} (x^2-1)^l$$

$$x = \cos \theta$$



Aquí  $-l \leq m \leq l$

Si  $m > 0$

$$P_l^m = \frac{(-1)^m}{2^l l!} (1-x^2)^{m/2} \frac{d^{l+m}}{dx^{l+m}} [(x^2-1)^l]$$

Si  $m < 0$

$$P_l^{-m} = (-1)^m \frac{(l-m)!}{(l+m)!} P_l^m$$

En general, para  $\nabla^2(\theta, \varphi)$  definiremos el conjunto ortonormal completo de funciones sobre la esfera

(esferas armónicas)



$$Y_{lm}(\theta, \varphi) = \sqrt{\frac{2l+1}{4\pi} \frac{(l-m)!}{(l+m)!}} \cdot P_l^m(\cos\theta) e^{im\varphi}$$

La raíz cuadrada se elige para que se cumpla la condición de normalización.

Propiedades:

Conjugación  $\Rightarrow Y_{l, -m}(\theta, \varphi) = (-1)^m Y_{lm}^*(\theta, \varphi)$

Orto-normalización  $\Rightarrow \int d\Omega Y_{l'm'}^*(\theta, \varphi) Y_{lm}(\theta, \varphi) = \delta(l'l') \delta(m'm')$

Completitud  $\Rightarrow \sum_{l=0}^{\infty} \sum_{m=-l}^l Y_{lm}^*(\theta'\varphi') Y_{lm}(\theta, \varphi) = \delta(\cos\theta - \cos\theta') \delta(\varphi - \varphi')$

Si  $m=0$  entonces

$$Y_{l0}(\theta, \varphi) = \sqrt{\frac{2l+1}{4\pi}} P_l(\cos \theta)$$

Cualquier funcion angular puede ser desarrollada en armónicas esféricas (o'afinias armónicas)

$$f(\theta, \varphi) = \sum_{l=0}^{\infty} \sum_{m=-l}^l A_{lm} Y_{lm}(\theta, \varphi)$$

desde (inversión)

$$A_{lm} = \int d\Omega Y_{lm}^*(\theta, \varphi) f(\theta, \varphi)$$

( $d\Omega = d\theta d\varphi \sin \theta$ ,  $0 \leq \theta \leq \pi$ ,  $0 \leq \varphi \leq 2\pi$ )

En particular

$$f(\theta, \varphi) \Big|_{\theta=0} = \sum_{l=0}^{\infty} \sum_{m=-l}^l A_{lm} Y_{lm}(\theta=0, \varphi)$$

$$\begin{cases} Y_{lm}(\theta=0, \varphi) \neq 0 & \text{si } m=0 \\ 0 & \text{si } m \neq 0 \end{cases}$$

$$\Rightarrow f(\theta, \varphi) \Big|_{\theta=0} = \sum_{l=0}^{\infty} A_{l0} \sqrt{\frac{2l+1}{4\pi}} P_l(1)$$

como  $P_l(\cos \theta=1) = 1 \quad \forall l$

$$\text{entonces resulta } f(\theta, \varphi) \Big|_{\theta=0} = \sum_{l=0}^{\infty} A_{l0} \sqrt{\frac{2l+1}{4\pi}}$$

$$\text{en } A_{l0} = \sqrt{\frac{2l+1}{4\pi}} \int d\Omega P_l(\cos \theta) f(\theta, \varphi)$$

De este manera, la solución general a un problema de antena en coordenadas esféricas

$$\Delta\Delta \quad \phi(r, \theta, \varphi) = \sum_{l=0}^{\infty} \sum_{m=-l}^l (A_{lm} r^l + B_{lm} r^{-(l+1)}) Y_{lm}(\theta, \varphi)$$

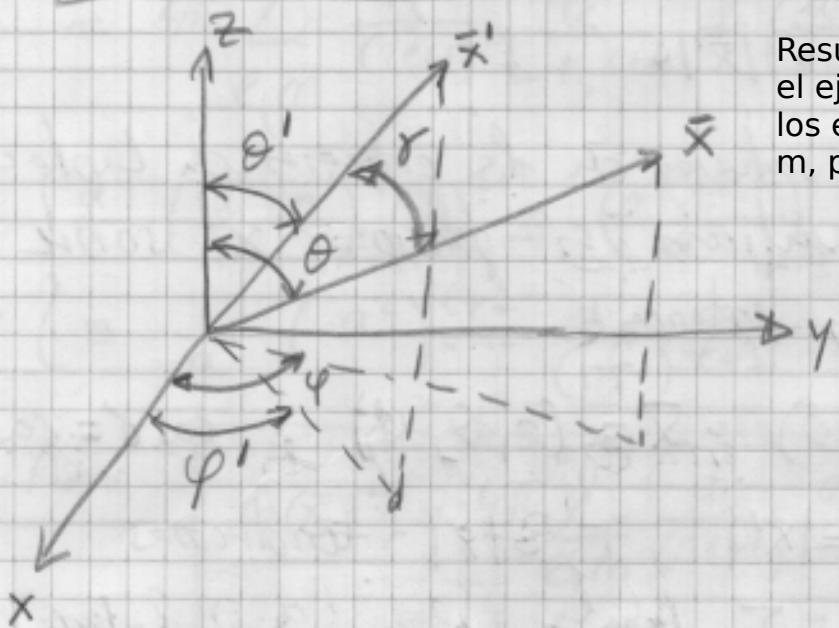
A continuación enunciamos relaciones importantes entre estas funciones:

(a) Teorema de Suma (adición) de esféricas armónicas

El ángulo en espacio entre dos vectores se escribe

$$P_l(\cos \gamma) = \left( \frac{4\pi}{2l+1} \right) \sum_{m=-l}^l Y_{lm}^*(\theta', \varphi') Y_{lm}(\theta, \varphi)$$

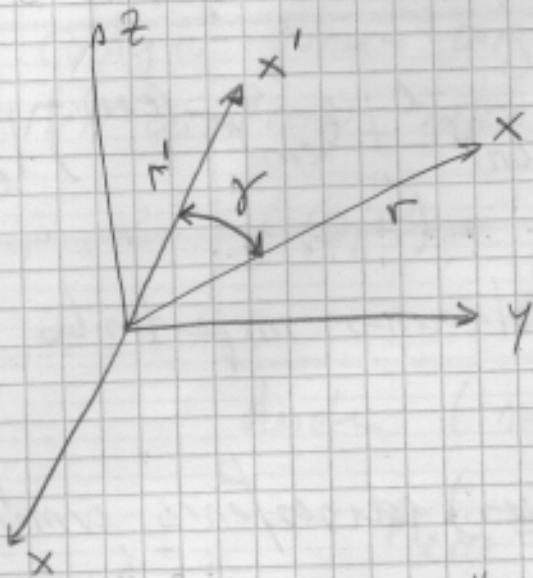
$$\cos \gamma = \cos \theta \cos \theta' + \sin \theta \sin \theta' \cos(\varphi - \varphi')$$



Resultado muy importante: si se cambia el eje "z" se mezclan los esféricos armónicos con diferente m, pero nunca con l distintos al original.



A partir de este resultado, pedimos retornar al problema del potencial en ausencia de superficies limitadoras,



Aquí, el "soporte" del potencial en  $\bar{x}$  debido a las cargas en  $\bar{x}'$ , resulta  $\Rightarrow$

$$\frac{1}{|\bar{x} - \bar{x}'|} = \sum_{l=0}^{\infty} \frac{r_l^l}{r_l^{l+1}} P_l(\cos \delta)$$

donde  $r_1$  y  $r_2$  será el mayor o menor valor de  $|\bar{x}|$  o  $|\bar{x}'|$ .

Este es una solución de la ecuación de Laplace, como puede verificarse si ponemos  $x'$  sobre el eje  $z$ , entonces

$$\bar{x}' \equiv (r', 0, 0), \quad \bar{x} \equiv (r, \theta, \varphi), \quad \cos \delta = \cos \theta$$

y si  $r_1 = |\bar{x}'|$ ,  $r_2 = |\bar{x}|$  tendremos

$$\frac{1}{|\bar{x} - \bar{x}'|} = \sum_{l=0}^{\infty} \frac{(r')^l}{(r)^{l+1}} P_l(\cos \theta)$$

Este resultado importante se sigue de

- \* La forma general de la solución (pag 31)
  - \* El teorema de adición
  - \* La simetría de  $|\bar{x} - \bar{x}'|$  frente al intercambio  $\bar{x} \leftrightarrow \bar{x}'$
  - \* El desarrollo en serie de potencias de  $1/|\bar{x} - \bar{x}'|$  cuando los vectores son colineales ( $\gamma = 0$ ).
- Recordemos que  $P_l(0) = 1$  para todo  $l$

reemplazando en esta expresion  $P_l(\cos \theta)$  por el desarrollo como suma de esfericas armónicas tendremos

$$\frac{1}{|\bar{x} - \bar{x}'|} = \sum_{l=0}^{\infty} \sum_{m_l = -l}^l \frac{4\pi}{(2l+1)} \frac{r_l^l}{r_l^{l+1}} Y_{lm}^* (\theta', \varphi') Y_{lm} (\theta, \varphi)$$

Desarrollo de las funciones de Green en coordenadas esféricas, a partir de este resultado por  $\frac{1}{|\bar{x} - \bar{x}'|}$

Ejemplo 1

Problema exterior con superficie esférica en  $r=a$

$$G(\bar{x}, \bar{x}') = \left( \frac{1}{|\bar{x} - \bar{x}'|} - \frac{a}{x' |\bar{x} - \frac{a^2}{(x')^2} \bar{x}'|} \right)$$

$$= 4\pi \sum_{l,m} \frac{1}{(2l+1)} \left[ \frac{r_l^l}{r_l^{l+1}} - \left( \frac{a^2}{rr'} \right) \frac{1}{a} \right] Y_{lm}^* (\theta', \varphi') Y_{lm} (\theta, \varphi)$$

ya que  $\left\{ \frac{a}{r'} \left( \frac{a^2}{r'^2} r' \right)^l \left( \frac{1}{r} \right)^{l+1} \equiv \left( \frac{a^{2l+2}}{a} \right) \frac{(r')^{l-2l-1}}{(r)^{l+1}} \right.$   
 $\Rightarrow \left. \equiv \frac{1}{a} (a^2)^{l+1} \cdot \frac{1}{(rr')^{l+1}} \right.$

Así  $G(\bar{x}, \bar{x}') = 4\pi \sum_{l,m} \frac{1}{(2l+1)} g_l(rr') Y_{lm}^* (\theta', \varphi') Y_{lm} (\theta, \varphi)$   
 $g_l(rr') = \frac{r_l^l}{r_l^{l+1}} - \frac{1}{a} \left( \frac{a^2}{rr'} \right)^{l+1}$

El factor  $\left[ \frac{r^l}{r^{l+1}} - \frac{1}{a} \left( \frac{a^2}{rr'} \right)^{l+1} \right]$  tiene como

límites los resultados ya obtenidos

$$(r < r') \quad \left[ \frac{1}{(r')^{l+1}} \left\{ r^l - \frac{a^{2l+1}}{r^{l+1}} \right\} \right]$$

$$(r > r') \quad \left[ (r')^l - \frac{a^{2l+1}}{(r')^{l+1}} \right] \frac{1}{r^{l+1}}$$

Y si  $r=a$  o  $r'=a$  el factor resulta ser  
 nula.  $\Rightarrow g(r, r')|_{r=a \text{ (o } r'=a)} = 0$

→ Solución general para la función de Green

(Coordenadas esféricas)

$$\begin{cases} \nabla_{\vec{x}}^2 G(\vec{x}, \vec{x}') = -4\pi \delta(\vec{x} - \vec{x}') \\ \delta(\vec{x} - \vec{x}') = \frac{1}{r^2} \delta(r - r') \delta(\varphi - \varphi') \delta(\cos\theta - \cos\theta') \end{cases}$$

(Aquí hemos utilizado la propiedad (trasf. de coordenadas)

$$d(x-x') = \frac{1}{|J(x_i \rightarrow u_i)|} \prod_i \delta(u_i - u'_i)$$

En función de la base de esferas armónicas tenemos

$$\delta(\vec{x} - \vec{x}') = \frac{\delta(r - r')}{r^2} \sum_{l=0}^{\infty} \sum_{m_l=-l}^l Y_{lm}^*(\theta', \varphi') Y_{lm}(\theta, \varphi)$$

(hemos usado las propiedades de ortogonalidad de las esferas armónicas).



Andoamente, or-bins

$$G(\bar{x}, \bar{x}') = \sum_{l, m, l'} A_{l, m, l'} (\theta', \varphi') g_e(r, r') Y_{l, m, l'}(\theta, \varphi)$$

$$\Rightarrow \nabla^2(r, \theta, \varphi) [g_e(r, r') Y_{l, m, l'}(\theta, \varphi)] = -\frac{4\pi}{r^2} \delta(r-r') Y_{l, m, l'}(\theta, \varphi)$$

donde  $A_{l, m, l'} (\theta', \varphi') = Y_{l, m, l'}(\theta', \varphi')$

Usando la separacion de variables y la completitud y ortogonalidad de  $Y_{l, m}$   $\Rightarrow$

$$\nabla^2(r, \theta, \varphi) = \frac{1}{r} \frac{\partial^2}{\partial r^2}(r \quad ) + \frac{1}{r^2} \nabla^2(\theta, \varphi)$$

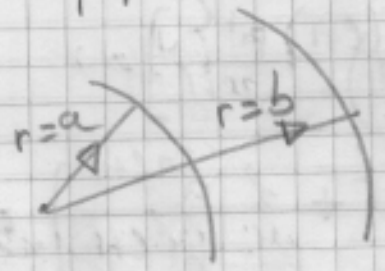
$$\nabla^2(\theta, \varphi) = \left[ \frac{1}{\sin \theta} \frac{\partial}{\partial \theta} \left( \sin \theta \frac{\partial}{\partial \theta} \right) + \frac{1}{\sin^2 \theta} \frac{\partial^2}{\partial \varphi^2} \right]$$

$$\text{Asi } \Rightarrow \left[ \frac{1}{r} \frac{d^2}{dr^2} (r g_e(r, r')) \right] - \frac{l(l+1)}{r^2} g_e(r, r') = -\frac{4\pi}{r^2} \delta(r-r')$$

$$\text{por lo tanto } g_e(r, r') = \begin{cases} A r^l + B r^{-(l+1)} & r < r' \\ A' r^l + B' r^{-(l+1)} & r > r' \end{cases}$$

Para superficies limitadoras concéntricas tenemos

$$g(r, r') = 0 \text{ si } \begin{cases} r = a \\ \text{o} \\ r = b \end{cases}$$



Así podemos escribir  

$$g_c(r, r') = \begin{cases} A \left( r^l - \frac{a^{2l+1}}{r^{l+1}} \right) & r < r' \\ B' \left( \frac{1}{r^{l+1}} - \frac{r^l}{b^{2l+1}} \right) & r > r' \end{cases}$$

por lo tanto

$$g_c(r, r') = C \left( r^l - \frac{a^{2l+1}}{r^{l+1}} \right) \left( \frac{1}{r^{l+1}} - \frac{r^l}{b^{2l+1}} \right)$$

A partir de  $\frac{1}{r} \frac{d^2}{dr^2} (r g_c) - \frac{l(l+1)}{r^2} g_c = -\frac{4\pi}{r^2} \delta(r-r')$

multiplicando por  $r$  e integrando en  $(r'-\epsilon, r'+\epsilon)$

$$\Rightarrow \frac{d}{dr} (r g_c(r, r')) \Big|_{r=r'+\epsilon} - \frac{d}{dr} (r g_c(r, r')) \Big|_{r=r'-\epsilon} = -\frac{4\pi}{r'}$$

en  $r = r' + \epsilon \rightarrow (r_< = r' \quad r_> = r)$

$$\frac{d}{dr} (r g_c(r, r')) \Big|_{r=r'+\epsilon} = C \left( r'^l - \frac{a^{2l+1}}{(r')^{l+1}} \right) \cdot \frac{d}{dr} \left( \frac{1}{r^l} - \frac{r^{l+1}}{b^{2l+1}} \right)$$

$$\frac{d}{dr} (r g_c(r, r')) \Big|_{r=r'-\epsilon} = C \left( \frac{1}{(r')^{l+1}} - \frac{r'^l}{b^{2l+1}} \right) \frac{d}{dr} \left( r^{l+1} - \frac{a^{2l+1}}{r^l} \right)$$

$$\Rightarrow C \left[ (r')^l - \frac{a^{2l+1}}{(r')^{l+1}} \right] \left[ -\frac{l}{(r')^{l+1}} - \frac{(l+1)r'^l}{b^{2l+1}} \right]$$

$$- C \left[ \frac{1}{(r')^{l+1}} - \frac{r'^l}{b^{2l+1}} \right] \left[ (l+1)r'^l + l \frac{a^{2l+1}}{r'^{l+1}} \right] =$$

$$= C \left\{ -\frac{e}{r_1} - (e+1) \frac{r_1 z e}{b^{2e+1}} + e \frac{a^{2e+1}}{r_1 z e + 2} + \frac{a^{2e+1}}{b^{2e+1}} \frac{(e+1)}{r_1} \right. \\ \left. - \frac{(e+1)}{r_1} - e \frac{a^{2e+1}}{r_1 z e + 2} + \frac{r_1 z e}{b^{2e+1}} (e+1) + \frac{e}{r_1} \frac{a^{2e+1}}{b^{2e+1}} \right\}$$

$$= \frac{C}{r_1} \left\{ -e - \frac{(e+1)}{b^{2e+1}} r_1 z e + e \frac{a^{2e+1}}{r_1 z e + 2} + (e+1) \frac{a^{2e+1}}{b^{2e+1}} \right. \\ \left. - (e+1) - e \frac{a^{2e+1}}{r_1 z e + 2} + \frac{r_1 z e (e+1)}{b^{2e+1}} + e \frac{a^{2e+1}}{b^{2e+1}} \right\}$$

$$= \frac{C}{r_1} \left\{ -e \left( 1 - \frac{a^{2e+1}}{b^{2e+1}} \right) - (e+1) \left( 1 - \frac{a^{2e+1}}{b^{2e+1}} \right) \right\}$$

$$= -\frac{4\pi}{r_1}$$

obteniendo  $\Rightarrow$

$$C = \frac{4\pi}{[2e+1] \left( 1 - \frac{a^{2e+1}}{b^{2e+1}} \right)}$$

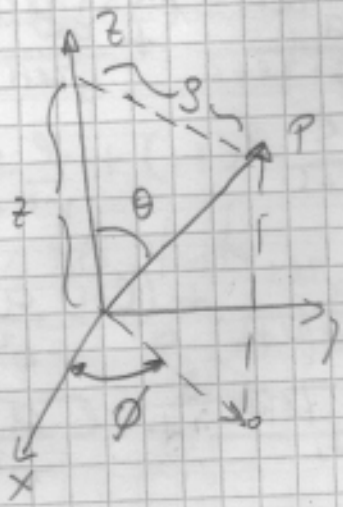
Por lo tanto, la función de Green para una capa esférica limitada por dos superficies esféricas de radios  $a$  y  $b$ , resulta dada por la expresión

$$G(\bar{x}, \bar{x}') = 4\pi \sum_{e \in \mathbb{N}} \left[ \frac{Y_{em}^+(\theta, \varphi) Y_{em}(\theta', \varphi')}{(2e+1) \left( 1 - \frac{a^{2e+1}}{b^{2e+1}} \right)} \right]$$

$$\cdot \left( r_1^e - \frac{a^{2e+1}}{r_1^{e+1}} \right) \left( \frac{1}{r_2^{e+1}} - \frac{r_2^e}{b^{2e+1}} \right)$$



Escalas de Laplace en coordenadas cilindricas



$(x, y, z) \rightarrow (\rho, \phi, z)$

$x = \rho \cos \phi$

$y = \rho \sin \phi$

$\rho = \sqrt{x^2 + y^2}$   
 $\tan \phi = (y/x)$

$\begin{cases} x = \rho \cos \phi \\ y = \rho \sin \phi \\ z = z \end{cases}$

$\left. \begin{cases} \frac{d}{dx} = \frac{d\rho}{dx} \frac{d}{d\rho} + \frac{d\phi}{dx} \frac{d}{d\phi} \\ \frac{d}{dy} = \frac{d\rho}{dy} \frac{d}{d\rho} + \frac{d\phi}{dy} \frac{d}{d\phi} \\ \frac{d}{dz} = \frac{d}{dz} \end{cases} \right\}$

$\frac{d\rho}{dx} = \frac{x}{\rho}$

$\frac{d\rho}{dy} = \frac{y}{\rho}$

$\frac{d\rho}{dz} = 0$

$\frac{d(\cos \phi)}{dx} = \frac{1}{\cos^2 \phi} \frac{d\phi}{dx} = -\frac{y}{x^2} \Rightarrow \frac{d\phi}{dx} = -\frac{y}{x^2} \cos^2 \phi \Rightarrow$

$\frac{d(\sin \phi)}{dy} = \frac{1}{\sin^2 \phi} \frac{d\phi}{dy} = \frac{1}{x} \Rightarrow \frac{d\phi}{dy} = \frac{1}{x} \sin^2 \phi \Rightarrow$

$\frac{d\phi}{dx} = -\frac{\rho \sin \phi}{\rho^2 \cos^2 \phi} \sin^2 \phi = -\left(\frac{\sin \phi}{\rho}\right)$

$\frac{d\phi}{dz} = 0$

$\frac{d\phi}{dy} = \frac{\sin^2 \phi}{\rho \cos^2 \phi} = \left(\frac{\tan \phi}{\rho}\right)$

$\frac{d\theta}{dx} = 0$

$\frac{d\theta}{dy} = 0$

$\frac{d\theta}{dz} = \frac{\sin \phi}{\rho}$

$$\frac{d}{dx} = \cos\phi \frac{d}{ds} - \frac{\sin\phi}{s} \frac{d}{d\phi}$$

$$\frac{d}{dy} = \sin\phi \frac{d}{ds} + \frac{\cos\phi}{s} \frac{d}{d\phi}$$

$$\frac{d}{dz} = \frac{d}{dz}$$

$$\Rightarrow \nabla^2(x, y, z) = \frac{d^2}{ds^2} + \frac{1}{s} \frac{d}{ds} + \frac{1}{s^2} \frac{d^2}{d\phi^2} + \frac{d^2}{dz^2}$$

Solucions

$$\Phi(s, \phi, z) = R(s) F(\phi) Q(z)$$

$$FQ \frac{d^2R}{ds^2} + \frac{FQ}{s} \frac{dR}{ds} + \frac{RQ}{s^2} \frac{d^2F}{d\phi^2} + RF \frac{d^2Q}{dz^2} = 0$$

dividindo per FQR (No singular en todo el espacio) tenemos  $\Rightarrow$

(Separacion de variable)  $\rightarrow$

$$\left( \frac{1}{R} \frac{d^2R}{ds^2} + \frac{1}{sR} \frac{dR}{ds} \right) + \underbrace{\left( \frac{1}{s^2 F} \frac{d^2F}{d\phi^2} \right)}_{\left( -\frac{v^2}{s^2} \right)} + \underbrace{\left( \frac{1}{Q} \frac{d^2Q}{dz^2} \right)}_{k^2} = 0$$

$$\Rightarrow \begin{cases} \frac{d^2R}{ds^2} + \frac{1}{s} \frac{dR}{ds} + \left( k^2 - \frac{v^2}{s^2} \right) R = 0 \\ \frac{d^2F}{d\phi^2} + v^2 F = 0 \\ \frac{d^2Q}{dz^2} - k^2 Q = 0 \end{cases}$$

ecuaciones separadas

$$\Rightarrow \begin{cases} Q(z) = e^{\pm kz} \\ F(\phi) = e^{\pm i v \phi} \end{cases}$$

# Equación Radial

$$R(s) = s^\gamma \left( \sum_{d=0}^{\infty} a_d s^d \right) \quad (\text{Propuesta})$$

factor multiplicado  
Polinomio

$$\frac{dR}{ds} = \gamma s^{\gamma-1} \left( \frac{R}{s^\gamma} \right) + s^\gamma \sum_{d=0}^{\infty} a_d d s^{d-1}$$

$$= \frac{\gamma}{s} R + s^\gamma \sum_{d=0}^{\infty} a_d d s^{d-1}$$

$$\frac{d^2 R}{ds^2} = -\frac{\gamma}{s^2} R + \frac{\gamma}{s} \left( \frac{\gamma}{s} R + s^\gamma \sum_{d=0}^{\infty} a_d d s^{d-1} \right)$$

$$+ \gamma s^{\gamma-1} \sum_{d=0}^{\infty} a_d d s^{d-1} + s^\gamma \sum_{d=0}^{\infty} a_d (d-1) s^{d-2}$$

$$\Rightarrow -\frac{\gamma}{s^2} R + \frac{\gamma^2}{s^2} R + \gamma s^{\gamma-1} \sum_{d=0}^{\infty} a_d d s^{d-1}$$

$$+ \gamma s^{\gamma-1} \sum_{d=0}^{\infty} a_d d s^{d-1}$$

$$+ s^\gamma \sum_{d=0}^{\infty} a_d (d-1) s^{d-2}$$

$$+ \frac{\gamma}{s^2} R + s^{\gamma-1} \sum_{d=0}^{\infty} a_d d s^{d-1} +$$

$$\left( 1 - \frac{\nu^2}{s^2} \right) s^\gamma \sum_{d=0}^{\infty} a_d s^d = 0$$

$$\Rightarrow \left( \frac{\gamma^2}{s^2} - \frac{\nu^2}{s^2} \right) R + R + (2\gamma+1) \sum_{d=0}^{\infty} a_d s^{\gamma+d-2}$$

$$+ \sum_{d=0}^{\infty} a_d (d-1) s^{\gamma+d-2} = 0$$



$\Rightarrow v^2 = \delta^2 \Rightarrow v = \pm \delta$  (pre-factos multiplicados)

$$\sum_{j=0}^{\infty} a_j [s^{\delta+j} + [(2\delta+1)\delta + \delta(\delta-1)]s^{\delta+j-2}]$$

$$\Rightarrow (a_0 + ((2\delta+1)2+2)a_2) s^{\delta} = 0$$

$$a_0 + (4\delta+4)a_2 = 0$$

$$a_2 = -\frac{a_0}{4(\delta+1)}$$

Idem  $a_4 s^{\delta+4} + (2\delta+1)4 + 4 \times 3) a_4 = 0$   
 $8\delta+16$

$$a_4 = -\frac{a_2}{4 \times 2 (\delta+2)}$$

de donde  $a_{2j} = -\frac{1}{4^j (\delta+1)^j} a_{2j-2}$

coeficientes de indice de potencia par

$$y a_{2j+1} = 0 \forall j$$

En general escribimos (usando  $\Gamma(n+1) = n!$ )

$$a_{2j} = \frac{(-1)^j \Gamma(\delta+1)}{2^{2j} j! \Gamma(\delta+j+1)} a_0$$

siendo  $\Gamma(n+1) = n!$   
 $(n+1)\Gamma(n+1)$

y por conveniencia

$$a_0 = \frac{1}{2^{\delta} \Gamma(\delta+1)}$$

Solvens (Funcions de Bessel de orden  $\nu$ )

$$J_\nu(z) = z^\nu \sum_{j=0}^{\infty} \frac{(-1)^j \Gamma(\nu+1)}{z^{2j} \Gamma(\nu+j+1) j! z^\nu \Gamma(\nu+1)} \cdot z^{2j}$$

entonces

$$J_\nu(z) = \left(\frac{z}{2}\right)^\nu \sum_{j=0}^{\infty} \frac{(-1)^j}{j! \Gamma(\nu+j+1)} \cdot \left(\frac{z}{2}\right)^{2j} \quad \nu = \delta$$

$$J_{-\nu}(z) = \left(\frac{z}{2}\right)^{-\nu} \sum_{j=0}^{\infty} \frac{(-1)^j}{j! \Gamma(-\nu+j+1)} \left(\frac{z}{2}\right)^{2j} \quad \nu = -\delta$$

si  $\nu$  es entero obviamente resulta

$$\Rightarrow J_{-\nu}(z) = (-1)^\nu J_\nu(z) \quad \Leftrightarrow$$

si  $\nu$  no es entero

$$\Rightarrow J_{\pm\nu}(z) \text{ son linealmente independientes}$$

Funcions de Neumann (llamados tambien de Bessel de segunda especie)

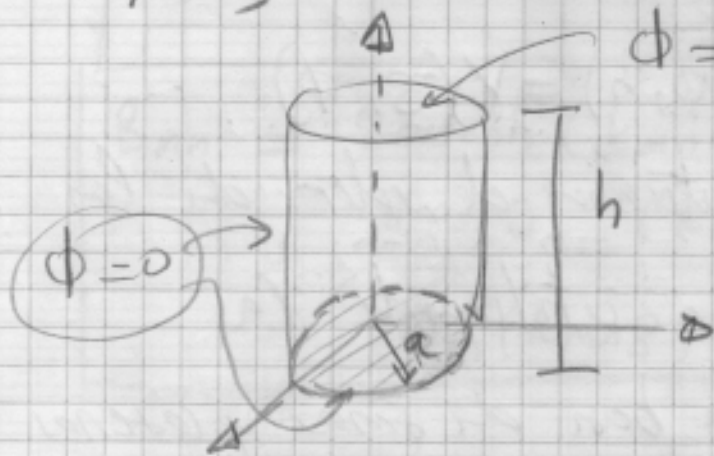
$$\Rightarrow N_\nu(z) = \frac{J_\nu(z) \cos(\nu\pi) - J_{-\nu}(z)}{\sin(\nu\pi)}$$

Funcions de Hankel (Bessel de tercera especie)

$$\Rightarrow H_\nu^{(1)}(z) = J_\nu(z) + i N_\nu(z) ; H_\nu^{(2)}(z) = J_\nu(z) - i N_\nu(z)$$

▷ Example (Condición de contorno en coordenadas cilíndricas)

Cilindro de radio  $a$  y altura  $h$ ,  
 El potencial en la superficie lateral y en la base  
 es  $\phi=0$ , en la base superior es  $\phi=V(s, \phi)$   
 $\phi = V(s, \phi, z=h)$



entonces, para la parte angular tendremos

$$F(\phi) = A \sin m\phi + B \cos m\phi$$

$$Q_k(z) = \sinh(kz)$$

como  $v$  debe ser entero y  $k$  es una  
 constante a determinar escribimos la parte  
 radial

$$R(s) = C J_v(ks)$$

como  $R(s=a) = 0 \Rightarrow$  debe ser  $J=0$

$$J_v(X_{n(v)} = (k_n(v)a)) = 0 \Rightarrow k_n v a$$

$n$  raíces del polinomio

ceros del polinomio



Entonces, escribimos como solución

$$\phi(r, \phi, z) = \sum_{\nu=0}^{\infty} \sum_{n=1}^{\infty} J_{\nu}(k_n(\nu)r) \cdot \sinh(k_n(\nu)z) \cdot (A_{\nu n} \sin \nu \phi + B_{\nu n} \cos \nu \phi).$$

Para  $z=h$   $\phi(r, \phi, h) = V(r, \phi)$

de donde podemos determinar el valor de las constantes  $A_{\nu n}$  y  $B_{\nu n}$  utilizando la ortogonalidad de la base de senos y cosenos circulares y la completitud de las funciones de Bessel de primera especie ( $J_{\nu}(r)$ )

$$\Rightarrow f(r) = \sum_{n=1}^{\infty} A_{\nu n} J_n(x_{\nu n} r/a)$$

entonces multiplicando por  $J_{\nu}$  e integrado;

$$A_{\nu n} = \frac{2}{a^2 J_{\nu+1}^2(x_{\nu n})} \int_0^a dr r f(r) J_{\nu}\left(\frac{x_{\nu n} r}{a}\right)$$

para  $0 \leq r \leq a$

Así, en nuestro problema tenemos  $\Rightarrow$

$$A_{mn} = \frac{2 \operatorname{cosech}(k_{mn}L)}{\pi a^2 J_{m+1}^2(k_{mn}a)} \int_0^{2\pi} d\phi \int_0^a ds s V(s, \phi) J_m(k_{mn}s) \sin m\phi$$

$$B_{mn} = \frac{2 \operatorname{cosech}(k_{mn}L)}{\pi a^2 J_{m+1}^2(k_{mn}a)} \int_0^{2\pi} d\phi \int_0^a ds s V(s, \phi) J_m(k_{mn}s) \cos m\phi$$

Nota  $\Rightarrow$  Al escribir los resultados anteriores hemos utilizado algunos conceptos básicos (funciones ortogonales, bases, etc.)

(A) Condición de ortogonalidad:

bases  $\{f_n(x)\}$   $\equiv$  conjunto de funciones definidas en un intervalo delgado

$$\Rightarrow \int_a^b f_n^*(x) f_m(x) dx = \delta_{nm} \equiv \begin{cases} 0 & \text{si } n \neq m \\ 1 & \text{si } n = m \end{cases}$$

(2) Cualquier función definida en el mismo intervalo se escribe como combinación lineal en la base  $\{f_n\}$

$U(x) = \sum_n a_n f_n(x)$  donde (multiplicando  $U$  por  $f_m^*(x)$  e integrando, usando la condición (A))

$$\int_a^b dx U f_m^*(x) = \sum_n a_n \int_a^b f_m^*(x) f_n(x) dx = a_n$$

(ya que  $f_n(x)$  este contenido en  $\{f_n(x)\}$ )

③ Completitud

Como vemos  $U(x) = \sum_n a_n f_n(x)$

$$= \sum_n \left( \int_a^b ds f_n(s) U(s) \right) f_n(x)$$

$$= \int_a^b ds \left[ \sum_n f_n(s) f_n(x) \right] U(s)$$

de donde  $\sum_n f_n(s) f_n(x) \Rightarrow \delta(s-x)$

bajo el signo integral,  
fija el valor  $s=x$  si  $x \in (a,b)$  o  $s=0$  si  $x \notin (a,b)$

resultado

$$U(x) = \int_a^b ds U(s) \delta(s-x) \equiv U(x)$$

$\Downarrow$   
fija el valor de  $U(s)$  en  $s=x$  si  $x \in (a,b)$

Ejemplos

Desarrollo de funciones en series de Fourier

(en un intervalo  $-\frac{L}{2}, \frac{L}{2}$ ) las funciones

$$\left\{ \sqrt{\frac{2}{L}} \cdot \text{sen} \left( \frac{2\pi m x}{L} \right), \sqrt{\frac{2}{L}} \cdot \text{cos} \left( \frac{2\pi m x}{L} \right) \right\}_{m=\text{entero}}$$

cumplen las

condiciones de ortogonalidad requiere a una base,  
asi, para una funcion  $f(x)$  en el mismo intervalo  
escribimos su representacion en series de Fourier



$$f(x) = \sum_{n=0}^{\infty} A_n \cos\left(\frac{2\pi n x}{L}\right) + \sum_{n=1}^{\infty} B_n \sin\left(\frac{2\pi n x}{L}\right)$$

$$A_n = \frac{2}{L} \int_{-L/2}^{L/2} dx \cos\left(\frac{2\pi n x}{L}\right) f(x)$$

$$B_n = \frac{2}{L} \int_{-L/2}^{L/2} dx \sin\left(\frac{2\pi n x}{L}\right) f(x)$$

ya que  $\int_{-L/2}^{L/2} dx \cos\left(\frac{2\pi m x}{L}\right) \cos\left(\frac{2\pi n x}{L}\right) = \frac{L}{2} \delta_{mn}$

$$\Rightarrow \begin{cases} \cos \alpha \cos \beta + \sin \alpha \sin \beta = \cos(\alpha - \beta) \\ \cos \alpha \cos \beta - \sin \alpha \sin \beta = \cos(\alpha + \beta) \end{cases}$$

$$\Rightarrow \begin{cases} \cos \alpha \cos \beta = \frac{1}{2} (\cos(\alpha - \beta) + \cos(\alpha + \beta)) \\ \sin \alpha \sin \beta = \frac{1}{2} (\cos(\alpha - \beta) - \cos(\alpha + \beta)) \end{cases}$$

$$\Rightarrow \int_{-L/2}^{L/2} \frac{dx}{2} (\cos [2\pi \frac{x}{L} (m-n)] + \cos [2\pi \frac{x}{L} (m+n)])$$

$$= \left(\frac{L}{2}\right) \delta_{mn} \quad (\text{idem } \int_{-L/2}^{L/2} \frac{dx}{2} \sin\left(\frac{2\pi m x}{L}\right) \sin\left(\frac{2\pi n x}{L}\right))$$

### Funciones exponenciales

(en un intervalo infinito, definiremos funciones continuas, tal el caso de las funciones exponenciales)

$$f_n(x) = e^{\pm i k x} \quad k = \text{real}$$

así  $F(x) = \int_{-\infty}^{\infty} e^{i k x} A(k) dk$

$$\Rightarrow \int_{-\infty}^{\infty} dx e^{-ik'x} F(x) =$$

$$\int_{-\infty}^{\infty} dx e^{-ik'x} \int_{-\infty}^{\infty} dk e^{ikx} A(k)$$

$$= \int_{-\infty}^{\infty} dk A(k) \int_{-\infty}^{\infty} dx e^{i(k-k')x}$$

$$\underbrace{\hspace{10em}}_{2\pi \delta(k-k')}$$

$$= A(k') 2\pi \Rightarrow$$

$$\Rightarrow A(k') = \frac{1}{2\pi} \int_{-\infty}^{\infty} dx e^{-ik'x} F(x)$$

$$\Rightarrow \int_{-\infty}^{\infty} dx e^{i(k-k')x} = \delta(k-k') \quad (\text{ortogonalität})$$

$$\int_{-\infty}^{\infty} dk e^{ik(x-x')} = \delta(x-x') \quad (\text{komplettheit})$$

----- x -----

Resumen

Campo eléctrico y potencial eléctrico  $\Rightarrow$

$$\vec{E} = -\vec{\nabla}\phi$$

Ecuaciones de Laplace y Poisson

$$\nabla^2\phi = 0 \quad (\text{Laplace})$$

$$\nabla^2\phi = -4\pi g(\vec{x}) \quad (\text{Poisson})$$

Consecuencia  $\Rightarrow$  Gauss

$$\vec{\nabla} \cdot \vec{E} = 4\pi g(\vec{x})$$

Resolvente (Función de Green)

$$\nabla^2 G(\vec{x}, \vec{x}') = -4\pi \delta(\vec{x} - \vec{x}')$$

Solución general para  $\phi(\vec{x})$

$$G(\vec{x}, \vec{x}') = \frac{1}{|\vec{x} - \vec{x}'|} + F(\vec{x}, \vec{x}')$$

$$\phi(\vec{x}) = \int \frac{g(\vec{x}')}{|\vec{x} - \vec{x}'|} d^3x' + \frac{1}{4\pi} \oint_S \left[ \frac{1}{R} \frac{\partial \phi}{\partial n'} - \phi \frac{\partial}{\partial n'} \left[ \frac{1}{R} \right] \right] da$$

$$R = |\vec{x} - \vec{x}'|$$

$$\nabla^2 \left( \frac{1}{R} \right) = -4\pi \delta(\vec{x} - \vec{x}')$$

Laplacianos en coordenadas cartesianas, esféricas y cilíndricas

$$\nabla^2(x, y, z) = \left( \frac{d^2}{dx^2} + \frac{d^2}{dy^2} + \frac{d^2}{dz^2} \right)$$

$$\nabla^2(r, \theta, \phi) = \frac{1}{r^2} \frac{\partial^2}{\partial r^2} (r^2) + \frac{1}{r^2 \sin \theta} \frac{\partial}{\partial \theta} \left( \sin \theta \frac{\partial}{\partial \theta} \right) + \frac{1}{r^2 \sin^2 \theta} \frac{\partial^2}{\partial \phi^2}$$

$$\nabla^2(s, \varphi, z) = \frac{\partial^2}{\partial s^2} + \frac{1}{s} \frac{\partial}{\partial s} + \frac{1}{s^2} \frac{\partial^2}{\partial \varphi^2} + \frac{\partial^2}{\partial z^2}$$

Funciones propias, polinomios ortogonales

$$\nabla^2(x, y, z) \rightarrow \left\{ \begin{array}{l} \cos \alpha_n x_i \\ \sin \alpha_n x_i \end{array} \right\} \quad (x_i = x, y, z) \quad (\alpha_n \Rightarrow \frac{2\pi m}{L_i})$$

$$\nabla^2(r, \theta, \phi) \rightarrow \{ F(r) Y_{lm}(\theta, \phi) \}$$

$$\nabla^2(s, \varphi, z) \rightarrow \{ J_\nu(x) \} \{ e^{\pm i m \varphi} \} \{ e^{\pm k z} \}$$



Teorema de adición de los esféricos armónicos

$$\frac{1}{|\vec{x}-\vec{x}'|} = \sum_{\substack{l=0 \\ m_l = -l \rightarrow l}}^{\infty} \frac{r_l^l}{r_l^{l+1}} \left( \frac{4\pi}{(2l+1)} Y_{lm_l}^*(\theta', \varphi') Y_{lm_l}(\theta, \varphi) \right)$$

Completitud, ortonormalidad

$$\int_0^\pi d\varphi \int_0^\pi d\theta \sin\theta Y_{lm}^*(\theta, \varphi) Y_{l'm'}(\theta, \varphi) = \delta_{ll'} \delta_{mm'}$$

$$\Rightarrow P_l(\cos\delta) = \frac{4\pi}{(2l+1)} \sum_{m_l=-l}^l Y_{lm_l}^*(\theta', \varphi') Y_{lm_l}(\theta, \varphi)$$

$$\cos\delta = \cos\theta\cos\theta' + \sin\theta\sin\theta'\cos(\varphi-\varphi')$$

Solución general a un problema de contorno en coordenadas esféricas

$$\Rightarrow \phi(r, \theta, \varphi) = \sum_{l=0}^{\infty} \sum_{m_l=-l}^l (A_{lm} r^l + B_{lm} r^{-(l+1)}) Y_{lm}(\theta, \varphi)$$

Soluciones a problemas con simetría azimutal

$$\Rightarrow \phi(r, \theta) = \sum_{l=0}^{\infty} [A_l r^l + B_l r^{-(l+1)}] P_l(\cos\theta)$$

Condiciones de Dirichlet

$$\phi(x, x') = 0 \text{ sobre } S \text{ (sup. limitada)}$$

Condiciones de Neumann

$$\frac{\partial \phi}{\partial n'}(x, x') = 0 \text{ para } x' \text{ sobre } S$$

en general (Dirichlet) 
$$\phi(x) = \int_V \rho(x') G_D(x, x') d^3x' - \frac{1}{4\pi} \int_S \phi(x') \frac{\partial G_D}{\partial n'} da'$$

(Neumann) 
$$\phi(x) = \int_V \rho(x') G_N(x, x') d^3x' + \frac{1}{4\pi} \int_S \frac{\partial \phi}{\partial n'} G_N da' + \langle \phi \rangle_S$$

Ejercicios

- ① Anillo de radio  $a$  y carga total  $Q$  en el interior de una esfera conductora de radio  $b$  conectada a tierra.
  - ② Carga lineal uniforme de longitud  $2b$  y carga total  $Q$  en el interior de una esfera conductora de radio  $b$  conectada a tierra.
  - ③ Anillo cargado de radio  $a$  y carga total  $q$ , simétrico alrededor del eje  $z$ , con centro en  $z=b$ .
  - ④ Esfera conductora con hemisferios a diferentes potenciales.
-

Desarrollo en multipolos

A partir del desarrollo

$$\frac{1}{|\vec{x}-\vec{x}'|} = \sum_{l=0}^{\infty} \sum_{m_l=-l}^l \left(\frac{4\pi}{2l+1}\right) \cdot \frac{r_l^l}{r^{l+1}} Y_{lm}^*(\theta', \varphi') Y_{lm}(\theta, \varphi)$$

para una dada distribucion de cargas  $\rho(\vec{x}')$  interior a una dada region

$$\phi(\vec{x}) = \sum_{l=0}^{\infty} \sum_{m_l=-l}^l \left(\frac{4\pi}{2l+1}\right) \cdot \frac{1}{r^{l+1}} Y_{lm}(\theta, \varphi) \cdot q_{lm}$$

donde

$$q_{lm} = \int d^3x' (r')^l Y_{lm}^*(\theta', \varphi') \rho(x')$$

(este es la definicion de los momentos multipolares)

Los primeros momentos multipolares se escriben

$$(l=0, m_l=0) \Rightarrow q_{00} = \frac{1}{\sqrt{4\pi}} \int \rho(\vec{x}') d^3x' = \frac{Q}{\sqrt{4\pi}}$$

ya que  $Y_{00} = 1/\sqrt{4\pi}$

Asi, si  $(l=1, m_l=1)$  tenemos

$$\left\{ \begin{aligned} Y_{11} &= -\sqrt{\frac{3}{8\pi}} \sin\theta e^{i\varphi} \\ Y_{10} &= \sqrt{\frac{3}{4\pi}} \cos\theta \end{aligned} \right.$$

luego

$$q_{10} = \int d^3x' \rho(\vec{x}') \sqrt{\frac{3}{4\pi}} \cos\theta(r')$$



$$= \int dr' (r')^2 \int d\theta' \sin\theta' \int d\varphi' \rho(\vec{x}') \sqrt{\frac{3}{4\pi}} \cos\theta'$$

$$= \int dr' (r')^2 \int d\theta' \sin\theta' \int d\varphi' \rho(\vec{x}') \cdot z' \cdot \sqrt{\frac{3}{4\pi}}$$

$$= \sqrt{\frac{3}{4\pi}} \int d^3x' \rho(\vec{x}') z' = \sqrt{\frac{3}{4\pi}} p_z$$

( $p_z$  es el momento dipolar de carga según  $\hat{z}$ ).

El cálculo de  $q_{11}$  resulta en

$$q_{11} = \int d^3x' \rho(\vec{x}') \cdot \left[ -\sqrt{\frac{3}{8\pi}} \sin\theta' e^{-i\varphi'} \right]$$

$$= -\sqrt{\frac{3}{8\pi}} \int d^3x' \rho(\vec{x}') [r' \sin\theta' \cos\varphi' - i r' \sin\theta' \sin\varphi']$$

$$\boxed{q_{11} = -\sqrt{\frac{3}{8\pi}} (p_x - i p_y)}$$

El momento  $\boxed{q_{1-1} = (-)^1 q_{11}^* = \sqrt{\frac{3}{8\pi}} (p_x + i p_y)}$

Cuando  $l=2$ , tenemos los términos componentes del tensor cuadrupolar, tomemos el caso con  $l=2, m_l=2$

$$q_{22} = \int d^3x' (r')^2 \rho(\vec{x}') Y_{22}^*(\theta', \varphi')$$

54

usando

$$Y_{22}(\theta', \varphi') = \frac{1}{4} \sqrt{\frac{15}{2\pi}} \sin^2 \theta' e^{2i\varphi'}$$

$$\Rightarrow \int d^3 x' g(\vec{x}') \cdot \left\{ r'^2 \sin^2 \theta' (\cos 2\varphi' - i \sin 2\varphi') \right\} \cdot \frac{1}{4} \sqrt{\frac{15}{2\pi}}$$

Recordando

$$x' = r' \sin \theta' \cos \varphi'$$

$$y' = r' \sin \theta' \sin \varphi'$$

$$(x' - iy')^2 = (r')^2 \sin^2 \theta' \left\{ \underbrace{\cos^2 \varphi'} - \underbrace{\sin^2 \varphi'} - 2i \sin \varphi' \cos \varphi' \right\}$$

$$(x' - iy')(x' + iy') = (r')^2 \sin^2 \theta' \left\{ \cos 2\varphi' - i \sin 2\varphi' \right\}$$

de donde resulta

$$q_{722} = \frac{1}{4} \sqrt{\frac{15}{2\pi}} \int d^3 \vec{x}' g(\vec{x}') (x' - iy')^2$$

En general, escribimos para los elementos del tensor cuadrupolo  $\Rightarrow$

$$Q_{ij} = \int d^3 \vec{x}' g(\vec{x}') (3x'_i x'_j - r'^2 \delta_{ij})$$

El resultado final para una distribución dada de cargas, observada desde el exterior se escribe (reuniendo los términos calculados hasta el momento)

$$\phi(\vec{x}) = \frac{q}{r} + \frac{\vec{p} \cdot \vec{x}}{r^3} + \frac{1}{2} \sum_{ij} Q_{ij} \frac{x_i x_j}{r^5} + \dots$$

Expresamos ahora el campo eléctrico en función de los momentos multipolares,

$$\vec{E} = -\vec{\nabla}\phi$$

$$\vec{E} = -\vec{\nabla} \left\{ \sum_{em} \frac{4\pi}{2\ell+1} q_{em} \left( \frac{Y_{em}(\theta, \varphi)}{r^{\ell+1}} \right) \right\}$$

$$E_r \Big|_{em} = \frac{\partial}{\partial r} (-\vec{\nabla}\phi) \Big|_{em} \Rightarrow \frac{4\pi(\ell+1)}{(2\ell+1)} q_{em} \frac{Y_{em}(\theta, \varphi)}{r^{\ell+2}}$$

$$E_\theta \Big|_{em} = \frac{1}{r} \frac{\partial}{\partial \theta} (-\vec{\nabla}\phi) \Big|_{em} = -\frac{4\pi}{(2\ell+1)} q_{em} \frac{1}{r^{\ell+2}} \frac{\partial}{\partial \theta} Y_{em}(\theta, \varphi)$$

$$E_\phi \Big|_{em} = \frac{1}{r \sin\theta} \frac{\partial}{\partial \phi} (-\vec{\nabla}\phi) \Big|_{em} = -\frac{4\pi}{(2\ell+1)} q_{em} \frac{i m}{r^{\ell+2} \sin\theta} Y_{em}(\theta, \varphi)$$

Para el caso de un dipolo orientado según el eje z  
( $p_x = p_y = 0$ ,  $p_z = p$ ),

$$q_{\ell \pm 1} = 0, \quad q_{\ell 0} = \sqrt{\frac{3}{4\pi}} p \quad \text{resulta}$$

$$E_r = \left( \frac{4\pi \times 2}{3} \right) \sqrt{\frac{3}{4\pi}} p \cdot \sqrt{\frac{3}{4\pi}} \cos\theta \cdot \frac{1}{r^3} = \frac{2p \cos\theta}{r^3}$$

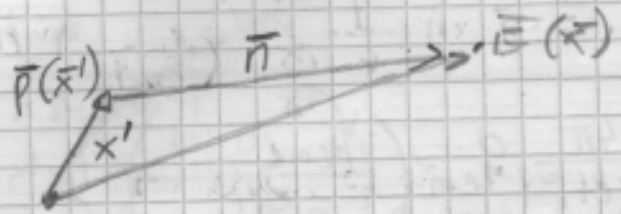
$$E_\theta = -\left( \frac{4\pi}{2\ell+1} \right) \cdot \sqrt{\frac{3}{4\pi}} p \cdot \frac{1}{r^3} \cdot \sqrt{\frac{3}{4\pi}} (-\sin\theta) = \frac{p \sin\theta}{r^3}$$

$$E_\phi = 0 \quad \text{ya que } q_{\ell m} = 0$$



Este resultado se escribe, para una orientación arbitraria del vector dipolo eléctrico como

$$\vec{E}(\vec{x}) = \frac{3\vec{n}(\vec{p} \cdot \vec{n}) - \vec{p}}{|\vec{x} - \vec{x}'|^3}$$



Problema  
explica los  
resultados obtenidos  
usando la expresión  
general ( $\vec{p} \parallel \hat{z}$ )

- Desarrollo multipolar de la energía de una distribución de carga en un campo externo.

Para una dada distribución la energía electrostática viene dada por

$$U = \int \rho(\vec{x}) \phi(\vec{x}) d^3\vec{x}$$

Para un potencial con variaciones pequeñas en el entorno al origen, efectuamos un desarrollo de Taylor en  $\vec{x}=0$

$$\phi(\vec{x}) = \phi(0) + \vec{x} \cdot (\nabla \phi)_{\vec{x}=0} + \frac{1}{2} \sum_{i,j} x_i x_j \frac{\partial^2 \phi}{\partial x_i \partial x_j} \Big|_{\vec{x}=0} + \dots$$

$$\phi(\vec{x}) = \phi(0) - \vec{x} \cdot \vec{E}(0) - \frac{1}{2} \sum_{i,j} x_i x_j \left[ \frac{\partial E_j}{\partial x_i} \right]_{\vec{x}=0} + \dots$$

Como suponemos que la distribución de carga no es la fuente del campo externo,

tenemos  $\nabla \cdot \vec{E} \Big|_{\vec{x}=0} = 0$

y a partir de este nivel completamos el tensor cuadrupolar, de donde resulta

$$\phi(\vec{x}) = \phi(\vec{x}=0) - \vec{x} \cdot \vec{E}(\vec{x}=0) - \frac{1}{6} \sum_{ij} (3x_i x_j - r^2 \delta_{ij}) \left. \frac{\partial E_j}{\partial x_i} \right|_{\vec{x}=0}$$

⇒ reemplazando en la expresion de U, tenemos

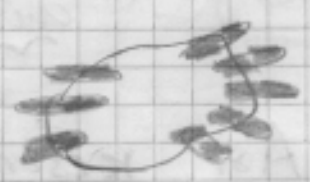
$$U = q \phi(\vec{x}=0) - \vec{p} \cdot \vec{E}(\vec{x}=0) - \frac{1}{6} \sum_{ij} Q_{ij} \left. \frac{\partial E_j}{\partial x_i} \right|_{\vec{x}=0}$$

### Electrostática macroscópica

La existencia de cargas de polarización indica la necesidad de modificar las ecuaciones válidas en vacío. En la figura mostramos esquemáticamente la situación generada por la aplicación de un campo externo a un medio polarizable.



{ campo externo nulo,  
carga total nula en  
el volumen ocupado por  
materia }



{ Campo externo }  
(los cargas se orientan pero  
no se desprenden del medio)

Si contamos con  $N$  dipolos, el momento dipolar total debido a la muestra orientada es

$$\bar{P} = N \langle \vec{p} \rangle$$

Este vector sumado al campo eléctrico define el vector desplazamiento  $\bar{D}$ , tal que

$$\bar{D} = \bar{E} + 4\pi \bar{P}$$

Notemos que la carga total del sistema es

$$Q = Q_{\text{externa}} + Q_{\text{polarización}}$$

Carga neta del sistema

La condición de linealidad

$$\bar{P} = \chi_e \bar{E}$$

nos permite escribir

$$\bar{D} = (\Delta + 4\pi \chi_e) \bar{E}$$

$$\bar{D} = \epsilon \bar{E}$$

donde

$$\epsilon = \Delta + 4\pi \chi_e \text{ es la constante dieléctrica del medio material.}$$

Así, reescribimos la ley de Gauss

$$\nabla \cdot \bar{D} = 4\pi \rho'$$

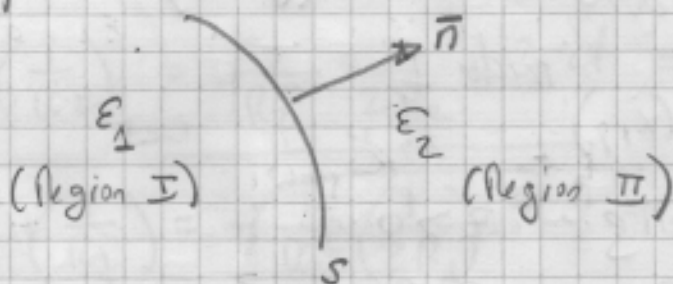
$$\nabla \cdot \bar{E} = \frac{4\pi}{\epsilon} \rho'$$



- { El vector  $\vec{D}$  tiene como fuentes las cargas libres.
- { El vector  $\vec{E}$  tiene como fuentes las cargas totales
- { El vector  $\vec{P}$  tiene como fuentes las cargas de polarización.

Condiciones de contorno para  $\vec{E}$  y  $\vec{D}$ :

La figura muestra una capa que separa dos medios con diferentes constantes dieléctricas.

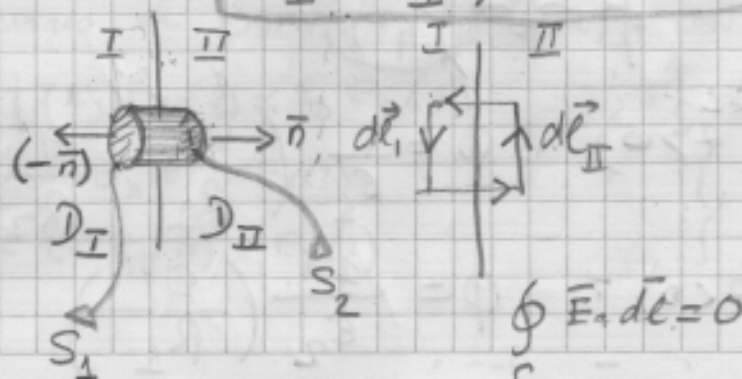


Suponemos que  $\sigma$  es la densidad superficial de carga (excluyendo la densidad de carga de polarización), entonces, teniendo en cuenta al vector que orienta a la superficie tenemos

$$(\vec{D}_{II} - \vec{D}_{I}) \cdot \vec{n} = 4\pi\sigma \quad (\text{Componentes Normales})$$

y aplicando el teorema de Stokes a  $\vec{\nabla} \times \vec{E} = 0$

$$\text{resulta } (\vec{E}_{I} - \vec{E}_{II}) \times \vec{n} = 0 \quad (\text{Componentes Tangenciales})$$

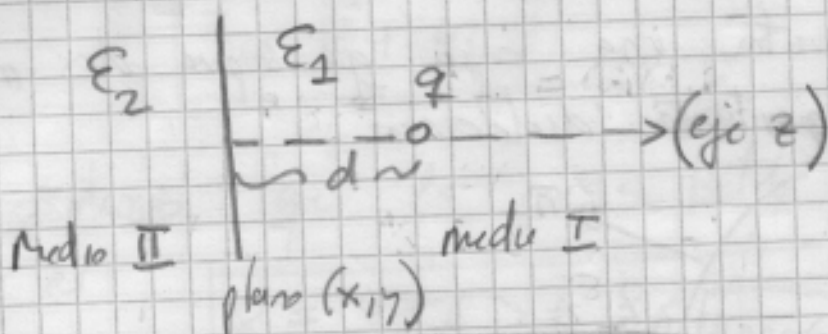


$$\oint \vec{E} \cdot d\vec{l} = 0$$

# Problemas de contorno con dieléctricos $\Leftarrow$

## Ejemplo 1

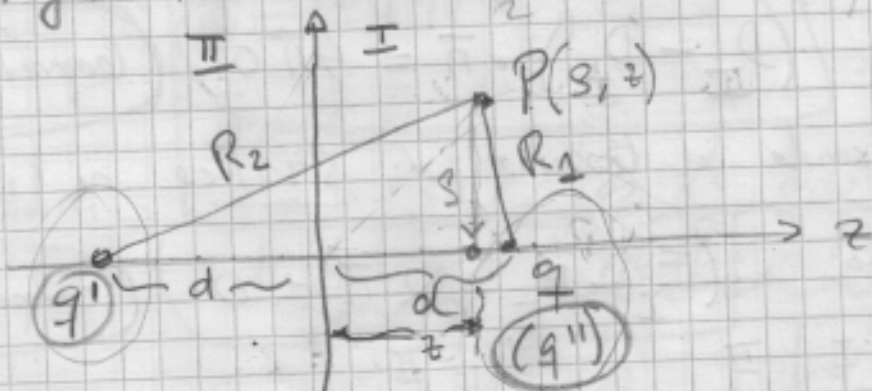
Carga  $q$  en un medio dieléctrico ( $\epsilon_1$ )  
 semiinfinito, a una distancia  
 $d$  del plano de separación de otro  
 medio ( $\epsilon_2$ )



Condiciones

$$\begin{aligned} \epsilon_1 \nabla \cdot \vec{E} &= 4\pi q & z > 0 \\ \epsilon_2 \nabla \cdot \vec{E} &= 0 & z < 0 \\ \nabla \times \vec{E} &= 0 \end{aligned}$$

Aplicaremos el método de imágenes, colocando una  
 carga imagen en el medio II.



$$\text{Así en I } (z > 0) \quad \phi = \frac{1}{\epsilon_1} \left( \frac{q}{R_1} + \frac{q'}{R_2} \right)$$

$$\text{y en II } (z < 0) \quad \phi = \frac{1}{\epsilon_2} \left( \frac{q''}{R_1} \right)$$

(51)



Entonces  $\Rightarrow$

$$\frac{\partial}{\partial z} \left( \frac{1}{R_1} \right)_{z=0} = - \frac{\partial}{\partial z} \left( \frac{1}{R_2} \right)_{z=0} =$$

$$R_1 = \sqrt{s^2 + (d-z)^2} \quad R_2 = \sqrt{s^2 + (d+z)^2}$$

$$\left\{ \frac{\partial}{\partial z} \left( \frac{1}{R_1} \right) = - \left( \frac{1}{R_1^3} \right) \left( \frac{1}{2R_1} \right) (2)(d-z)(-1) = \frac{d}{(s^2+d^2)^{3/2}} \right\} \text{Componentes Normales.}$$

$$\left\{ - \frac{\partial}{\partial z} \left( \frac{1}{R_2} \right)_{z=0} = \frac{1}{R_2^2} \cdot \frac{1}{2R_2} \cdot 2d = \frac{d}{(s^2+d^2)^{3/2}} \right\}$$

$$\left\{ \frac{\partial}{\partial s} \left( \frac{1}{R_1} \right) = - \frac{1}{R_1^3} \left( \frac{1}{2R_1} \right) \cdot 2s = - \frac{s}{(s^2+d^2)^{3/2}} \right\} \text{Componentes tangenciales}$$

$$\left\{ \frac{\partial}{\partial s} \left( \frac{1}{R_2} \right) = - \frac{1}{R_2^3} \left( \frac{1}{2R_2} \right) \cdot 2s = - \frac{s}{(s^2+d^2)^{3/2}} \right\}$$

$\Rightarrow$  Condición de contorno:

$$\left\{ \phi(z > 0) = \frac{1}{\epsilon_2} \left( \frac{q}{R_2} + \frac{q''}{R_2} \right) \Rightarrow \right.$$

$$\left. \phi(z < 0) = \frac{1}{\epsilon_2} \left( \frac{q''}{R_1} \right) \right.$$

Condición de Borde  $\epsilon_i E_z(z) = \text{constante}$

$$\left. \begin{matrix} (q - q' = q'') \\ \frac{1}{\epsilon_1} (q + q') = \frac{q''}{\epsilon_2} \end{matrix} \right\} \begin{matrix} \epsilon_1 E_z(z) = \epsilon_2 E_z(z) \\ E_x(1) = E_x(2) \\ E_y(1) = E_y(2) \end{matrix} \left. \right\} Dn_1 = Dn_2$$

Componentes tangenciales



entonces obtenemos como resultado el sistema

$$\begin{cases} q = q' + q'' \\ \frac{1}{\epsilon_1} q = -\frac{1}{\epsilon_1} q' + \frac{1}{\epsilon_2} q'' \end{cases}$$

$$\Rightarrow q' = \frac{\begin{vmatrix} q & 1 \\ q/\epsilon_1 & 1/\epsilon_2 \end{vmatrix}}{\det} = \frac{q \left( \frac{1}{\epsilon_2} - \frac{1}{\epsilon_1} \right)}{\left( \frac{1}{\epsilon_2} + \frac{1}{\epsilon_1} \right)}$$

$$= q \cdot \left( \frac{\epsilon_1 - \epsilon_2}{\epsilon_1 + \epsilon_2} \right) = -q \left( \frac{\epsilon_2 - \epsilon_1}{\epsilon_2 + \epsilon_1} \right)$$

analogamente

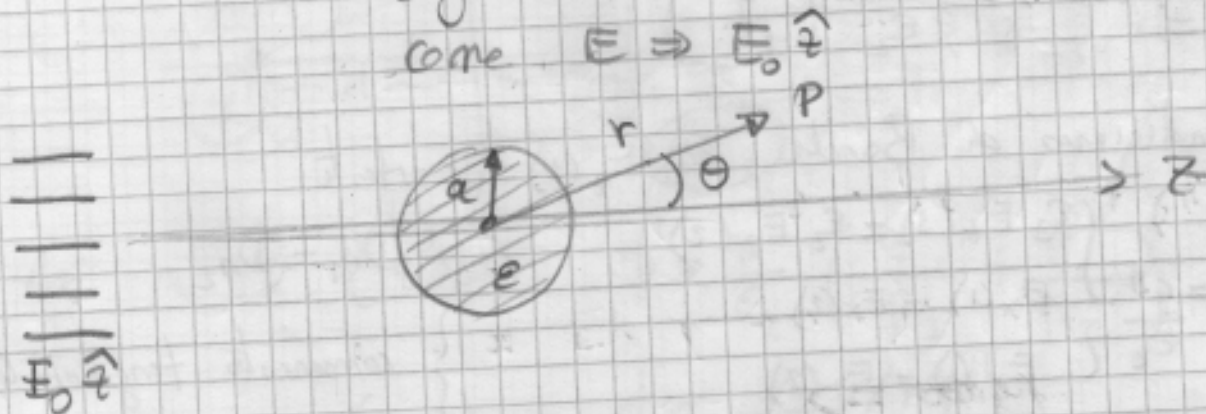
$$q'' = \frac{\begin{vmatrix} 1 & q \\ -1/\epsilon_1 & q/\epsilon_1 \end{vmatrix}}{\left( \frac{\epsilon_1 + \epsilon_2}{\epsilon_2 \epsilon_1} \right)} = \frac{q \left( 2/\epsilon_1 \right)}{(\epsilon_1 + \epsilon_2)/\epsilon_2 \epsilon_1}$$

$$q'' = \left( \frac{2\epsilon_2}{\epsilon_1 + \epsilon_2} \right) q$$

**Example 2**

Esfera de radio  $a$  y constante dieléctrica  $\epsilon$  en un campo uniforme que a grandes distancias se comporta

como  $E \Rightarrow E_0 \hat{z}$



(63)

## Condiciones del Problema

Carga libres  $\Rightarrow$  No existen  $\Rightarrow$  (Problema de Laplace)  
 Simétrico  $\Rightarrow$  axial  $\Rightarrow$  Potenciales alrededor del eje  $\neq$  no proporcionan información

$$r < a \quad \phi(\text{interior}) \equiv \sum_{l=0}^{\infty} \alpha_l r^l P_l(\cos \theta)$$

$$r > a \quad \phi(\text{exterior}) \equiv \sum_{l=0}^{\infty} (\beta_l r^l + C_l r^{-(l+1)}) P_l(\cos \theta)$$

Condición en infinito  $\phi = -E_0 z$

y en  $r = a$

Componente tangencial de  $\mathbf{E} \Rightarrow -\frac{1}{a} \frac{\partial \phi_{\text{int}}}{\partial \theta} = -\frac{1}{a} \frac{\partial \phi_{\text{ext}}}{\partial \theta}$

Componente normal de  $\mathbf{D} \Rightarrow -\epsilon \frac{\partial \phi_{\text{int}}}{\partial r} = -\frac{\partial \phi_{\text{ext}}}{\partial r}$

Estas condiciones se traducen en las siguientes relaciones entre constantes ( $\alpha_l, \beta_l, C_l$ )

$$\beta_0 = -E_0 \quad \text{ya que } r P_0(\cos \theta) = z$$

$$\beta_l = 0 \quad \forall l \neq 1$$

$\Rightarrow$  Por independencia de las derivadas para cada  $l$  tenemos  $\Rightarrow$

(64)

$$l=1 \Rightarrow d_1 = \beta_1 + \frac{C_1}{a^3}$$

$$d_1 = -E_0 + \frac{C_1}{a^3}$$

$l \neq 1$

$$r_l = \frac{C_l}{a^{2l+1}}$$

y las derivadas radiales conducen a los abaceros

$$l=1 \Rightarrow -\epsilon d_1' = +E_0 + \frac{2C_1}{a^3}$$

$$o' \quad \epsilon d_1 = -E_0 - \frac{2C_1}{a^3}$$

$$y \text{ para } l \neq 1 \quad -\epsilon l d_l = (l+1) \frac{C_l}{a^{2l+1}}$$

por lo tanto  $\Rightarrow$

(A)

$$\begin{cases} E_0 = -d_1 + \frac{C_1}{a^3} \\ E_0 = -\epsilon d_1 - \frac{2C_1}{a^3} \end{cases}$$

(B)

$$\begin{cases} 0 = -d_l + \frac{C_l}{a^{2l+1}} \\ 0 = -\epsilon l d_l + (l+1) \frac{C_l}{a^{2l+1}} \end{cases}$$

per (A)

$$\begin{cases} d_1 = E_0 \left( -\frac{2}{a^3} - \frac{1}{a^3} \right) / \left( \frac{2}{a^3} + \frac{\epsilon}{a^3} \right) \\ C_1 = E_0 (-1 + \epsilon) / \left( \frac{2}{a^3} + \frac{\epsilon}{a^3} \right) \end{cases}$$

o sea



$$\begin{cases} d_1 = -3E_0 / (2 + \epsilon) \\ C_1 = E_0 (\epsilon - 1) / (2 + \epsilon) \end{cases}$$



(60)

y por (B)  $\alpha_e = C_e = 0 \quad \forall l \neq 1.$

Así resulta

$$\Phi_{\text{interna}} = - \left( \frac{3}{2+\epsilon} \right) E_0 r \cos \theta$$

$$\Phi_{\text{exterior}} = - E_0 r \cos \theta + \frac{(\epsilon-1)}{(\epsilon+2)} E_0 \frac{a^3}{r^2} \cos \theta$$

En el interior de la esfera el campo es constante y paralelo al campo externo.

(el campo en la esfera es menor que el campo externo)

$$E_{\text{int}} = \left( \frac{3}{2+\epsilon} \right) E_0 \quad (\text{según } \hat{z})$$

en el exterior tenemos el campo aplicado

$(E_0 \hat{z})$  y el campo debido a

un dipolo colocado en el origen de la esfera

(momento dipolar  $p = \left( \frac{\epsilon-1}{\epsilon+2} \right) a^3 E_0$  orientado

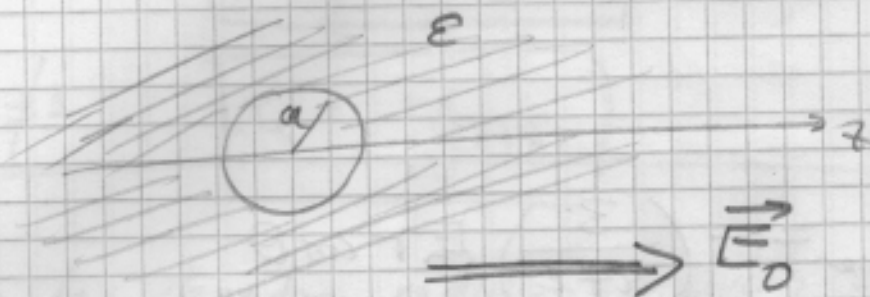
según el campo externo).

La polarización es constante en el volumen de la esfera

$$\vec{P} = \left( \frac{\epsilon-1}{4\pi} \right) \vec{E} = \frac{3}{4\pi} \left( \frac{\epsilon-1}{\epsilon+2} \right) \vec{E}_0$$

## Ejemplo 3

Cavidad esférica en un dielectrico



Aplicando el resultado anterior, reemplazando  
 $(\epsilon) \rightarrow (1/\epsilon)$ , de donde tenemos

$$E_{\text{int}} = \frac{3}{(2 + 1/\epsilon)} E_0 = \left( \frac{3\epsilon}{2\epsilon + 1} \right) E_0$$

$\Rightarrow$  { (el campo en la cavidad es mayor que el  
 campo externo).

$$\phi'(x) = \sum_{i=1}^{N-1} \frac{q_i}{|\bar{x} - \bar{x}_i|}$$

la energía potencial necesaria para remover la carga es entonces

$$W_i = q_i \sum_{j=1}^{N-1} \frac{q_j}{|\bar{x}_i - \bar{x}_j|}$$

La energía potencial total es entonces

$$U_{\text{TOTAL}} = \sum_{i=1}^N \sum_{j < i} \frac{q_i q_j}{|\bar{x}_i - \bar{x}_j|}$$

o' en forma simétrica

$$U_{\text{TOTAL}} = \frac{1}{2} \sum_i \sum_j \frac{q_i q_j}{|\bar{x}_i - \bar{x}_j|}$$

(eliminando la restricción  $j < i$ )

Para una distribución continua de cargas, resulta

$$U = \frac{1}{2} \iint \frac{\rho(\bar{x}) \rho(\bar{x}')}{|\bar{x} - \bar{x}'|} d^3 \bar{x} d^3 \bar{x}'$$

Podemos usar la ecuación de Poisson

$$\nabla^2 \Phi(\bar{x}) = -4\pi \rho(\bar{x})$$

y la definición de  $\phi(\bar{x}) = \int \frac{d^3 \bar{x}' \rho(\bar{x}')}{|\bar{x} - \bar{x}'|}$

para recuperar  $U \Rightarrow U = -\frac{1}{8\pi} \int d^3 \bar{x} \Phi(\bar{x}) \nabla^2 \phi(\bar{x})$



(21)

de donde

$$U = -\frac{1}{8\pi} \int \phi \nabla^2 \phi d^3x$$

$$= -\left(\frac{1}{8\pi}\right) \left[ \int \nabla \cdot (\phi \nabla \phi) d^3x - \int |\nabla \phi|^2 d^3x \right]$$

$$= \left(\frac{1}{8\pi}\right) \int |\nabla \phi|^2 d^3x$$

(el primer término se anula, es una dif. exacta)

de manera que 
$$U = \frac{1}{8\pi} \int |\vec{E}|^2 d^3x$$

Veamos como se modifica esta expresion en presencia de  
dieléctricos, escribiendo  $\vec{E} = -\nabla \Phi$  y

tomando la densidad de carga como  
fuentes de  $\vec{D} \Rightarrow \nabla \cdot \vec{D} = 4\pi g$

de donde para una variación de la  
densidad de carga tendremos

$$\delta g = \frac{1}{4\pi} \nabla \cdot (\delta \vec{D}), \text{ luego reescribimos}$$

$$U = \frac{1}{2} \int g(\vec{x}) \phi(\vec{x}) d^3x$$

Tomemos una pequeña variación

(69)

$$\delta U = \int \delta g(\vec{x}) \phi(\vec{x}) d^3x$$

$$\delta g = \frac{1}{4\pi} \vec{\nabla} \cdot (\delta \vec{D})$$

$$\delta U \equiv \int \frac{1}{4\pi} (\vec{\nabla} \cdot (\delta \vec{D})) \phi(\vec{x}) d^3x$$

$$\equiv \int \frac{1}{4\pi} \left[ \vec{\nabla} \cdot [(\delta \vec{D}) \phi] - \delta \vec{D} \cdot \vec{\nabla} \phi \right] d^3x$$

$$\equiv \frac{1}{4\pi} \int \delta \vec{D} \cdot \vec{E} d^3x$$

$\Rightarrow$  Si el medio es lineal resulta

$$\vec{E} \cdot \delta \vec{D} = \frac{1}{2} \delta(\vec{E} \cdot \vec{D})$$

entonces  $\delta U = \frac{1}{8\pi} \int \delta(\vec{E} \cdot \vec{D}) d^3\vec{x}$

considerando la suma de varianzas, resulta

$$U = \frac{1}{8\pi} \int \vec{E} \cdot \vec{D} d^3x$$

Si tomamos la varianza debida a la introducción de un dieléctrico

$$U_{\text{vacuo}} = \frac{1}{8\pi} \int \vec{E}_0 \cdot \vec{D}_0 d^3\vec{x}$$

$$U_{\text{dieléctrico}} = \frac{1}{8\pi} \int \vec{E} \cdot \vec{D} d^3\vec{x}$$

$$\Rightarrow \Delta U = \frac{1}{8\pi} \int (\vec{E} \cdot \vec{D} - \vec{E}_0 \cdot \vec{D}_0) d^3\vec{x}$$

70

$$\Rightarrow \frac{1}{8\pi} \int [(\bar{\mathbf{E}} \cdot \bar{\mathbf{D}}_0 - \bar{\mathbf{D}} \cdot \bar{\mathbf{E}}_0 + \bar{\mathbf{E}} \cdot \bar{\mathbf{D}} - \bar{\mathbf{E}} \cdot \bar{\mathbf{D}}_0 + \bar{\mathbf{E}}_0 \bar{\mathbf{D}} - \bar{\mathbf{E}}_0 \bar{\mathbf{D}}_0)]$$

$$\Rightarrow \frac{1}{8\pi} \int [(\bar{\mathbf{E}} \cdot \bar{\mathbf{D}}_0 - \bar{\mathbf{D}} \cdot \bar{\mathbf{E}}_0)] d^3 \bar{x}$$

$$+ \frac{1}{8\pi} \int [(\bar{\mathbf{E}} + \bar{\mathbf{E}}_0) \cdot (\bar{\mathbf{D}} - \bar{\mathbf{D}}_0)] d^3 \bar{x}$$

y siguiendo  $(\bar{\mathbf{E}} + \bar{\mathbf{E}}_0) = -\bar{\nabla} \Phi$  la segunda integral

$$\Rightarrow -\frac{1}{8\pi} \int (\bar{\mathbf{D}} - \bar{\mathbf{D}}_0) \cdot \bar{\nabla} \Phi d^3 \bar{x}$$

$$= -\frac{1}{8\pi} \int \left\{ \bar{\nabla} [\Phi (\bar{\mathbf{D}} - \bar{\mathbf{D}}_0)] - \Phi \bar{\nabla} \cdot (\bar{\mathbf{D}} - \bar{\mathbf{D}}_0) \right\} d^3 \bar{x}$$

Como  $\bar{\nabla} \cdot (\bar{\mathbf{D}} - \bar{\mathbf{D}}_0) = 0$  (no cambia la densidad de cargas libres al introducir el dieléctrico)  $\Rightarrow$  la integral se anula.

$$\Rightarrow \Delta U = \frac{1}{8\pi} \int (\bar{\mathbf{E}} \cdot \bar{\mathbf{D}}_0 - \bar{\mathbf{D}} \cdot \bar{\mathbf{E}}_0) d^3 \bar{x}$$

reemplazando entonces  $\bar{\mathbf{D}}_i = \epsilon_i \bar{\mathbf{E}}_i \Rightarrow$

$$\frac{1}{8\pi} \int (\bar{\mathbf{E}} \cdot \bar{\mathbf{E}}_0 \epsilon_0 - \bar{\mathbf{E}} \cdot \bar{\mathbf{E}}_0 \epsilon_1)$$

$$\Delta U = -\frac{1}{8\pi} \int (\epsilon_1 - \epsilon_0) \bar{\mathbf{E}} \cdot \bar{\mathbf{E}}_0 d^3 \bar{x}$$

Si suponemos que el dieléctrico este rodeado por vacío  $(\epsilon_1 - \epsilon_0) \rightarrow (\epsilon - 1)$



71

y usamos la definici3n de  $\vec{P}$

$$\vec{P} = \chi_e \vec{E}$$

$$\epsilon = (1 + 4\pi\chi_e) \Rightarrow$$

$$\epsilon - 1 = 4\pi\chi_e$$

$$(\epsilon - 1) \vec{E} \cdot \vec{E}_0 = (4\pi\chi_e \vec{E}) \cdot (\vec{E}_0) = 4\pi \vec{P} \cdot \vec{E}_0$$

Asi  $\Delta U = -\frac{1}{2} \int \vec{P} \cdot \vec{E}_0 d^3x$

expone la energa asociada a la presencia del dieléctrico ( $\vec{P}$ ) en el campo externo ( $\vec{E}_0$ ).